

# ارزیابی رفتار اکسیداسیون سیکلی پوشش‌های دولایه سرامیکی نانوساختار

## 8YSZ/La<sub>2</sub>(Zr<sub>0.7</sub>Ce<sub>0.3</sub>)<sub>2</sub>O<sub>7</sub> با ساختار ترک عمودی

پژمان رضائی طالقانی، ضیاء والفقی، ناصر احسانی

دانشگاه صنعتی مالک اشتر، مجتمع دانشگاهی مواد و فناوری‌های ساخت

(دریافت مقاله: ۹۹/۰۶/۲۹ - پذیرش مقاله: ۹۹/۰۹/۱۰)

### چکیده

در این پژوهش ابتدا رسوب پیش‌ماده La<sub>2</sub>(Zr<sub>0.7</sub>Ce<sub>0.3</sub>)<sub>2</sub>O<sub>7</sub> بوسیله مواد اولیه اکسید لantanیم، Ce(NO<sub>3</sub>)<sub>3</sub>.6H<sub>2</sub>O و ZrOCl<sub>2</sub>.8H<sub>2</sub>O فراوری شد. فرایند کلسیناسیون این رسوب در دماهای ۴۰۰-۹۰۰°C انجام گرفت و ساختار ذرات، اندازه ذرات و مورفولوژی پودرهای کلسینه‌شده مورد بررسی قرار گرفتند. آگلومرهای دو رسوب کلسینه‌شده در دماهای ۶۰۰ و ۹۰۰°C به منظور پوشش‌دهی به روش پلاسمای سبزی بر روی زیرلایه‌های از جنس آگلومرهای دارای لایه‌های METCO 204NS-G و AMDRY 962 به کار برده شدند. هر دو پوشش دولایه سرامیکی اعمال شده توسط Hastelloy X دارای ۹۰۰°C قرار گرفتند. نتایج حاصل از آگلومرهای ۶۰۰ و ۹۰۰°C به همراه پوشش YSZ معمولی تحت آزمون اکسیداسیون سیکلی در دمای ۱۰۰۰°C به دلیل دمای نسبتاً بالای پراش و بررسی‌های ریزساختاری نشان داد که فقط رسوب پیش‌ماده La<sub>2</sub>(Zr<sub>0.7</sub>Ce<sub>0.3</sub>)<sub>2</sub>O<sub>7</sub> کلسینه‌شده در دمای ۹۰۰°C اگلومرهای پراش و بررسی‌های ریزساختاری شامل فازهای اصلی زیرکونات لantanیم دارای مقادیر جزئی سریوم حل شده (Faz LZ) و محلول جامد زیرکونات بالای کلسیناسیون، حالت نانوذرات شامل فازهای اصلی زیرکونات لantanیم دارای مقادیر جزئی سریوم حل شده (Faz LZ) و محلول جامد زیرکونات لantanیم سریوم (Faz LC) را داشت. اما هر دو نوع پوشش دولایه سرامیکی از این فازها تشکیل شده و هر دو آنها نیز به صورت پوشش‌های نانوساختار دارای ترک‌های عمودی بودند. تنها تفاوت بین آنها، تراکم نسبتاً کمتر پوشش دولایه سرامیکی اعمال شده توسط آگلومرهای ۶۰۰°C بود. نتایج حاصل از آزمون اکسیداسیون سیکلی نشان داد که تنها این پوشش به دلیل تراکم ریزساختاری مناسب و حضور ترک‌های عمودی از کارکرد مناسبی برخوردار بود. ریخت لایه‌های این پوشش پس از ۹۲۴ سیکل حرارتی بدون عیب باقی ماند. اما در پوشش YSZ معمولی پس از آزمون اکسیداسیون سیکلی ترک امتدادیافته‌ای در نزدیکی مواضعی از فصل مشترک TGO/YSZ تشکیل شد.

**واژه‌های کلیدی:** ترک‌های عمودی، زیرکونات لantanیم سریوم، LZ + LC، پوشش دولایه سرامیکی نانوساختار، اکسیداسیون سیکلی.

## Cyclic Oxidation Behavior of Nanostructured Double Ceramic Layer Coatings of 8YSZ/La<sub>2</sub>(Zr<sub>0.7</sub>Ce<sub>0.3</sub>)<sub>2</sub>O<sub>7</sub> With Vertical Crack Structure

Pejman Rezaei Taleghani, Ziya Valefi, Naser Ehsani

Faculty of Material & Manufacturing Technologies, Malek Ashtar University of Technology,  
Tehran, Iran

(Received 19 September 2020, accepted 30 November 2020)

### Abstract

In this study, at first a precursor precipitate of La<sub>2</sub>(Zr<sub>0.7</sub>Ce<sub>0.3</sub>)<sub>2</sub>O<sub>7</sub> was prepared by using ZrOCl<sub>2</sub>.8H<sub>2</sub>O, Ce(NO<sub>3</sub>)<sub>3</sub>.6H<sub>2</sub>O and La<sub>2</sub>O<sub>3</sub> initial materials. The calcination process of this precipitate was performed at 400 °C-900 °C. The Phase constituents, particle size, and morphology of the calcined powders were investigated. The calcined precipitate agglomerates at 600 °C and 900 °C were used to apply by plasma spraying on the AMDRY 962 and METCO 204NS-G coated Hastelloy X substrates. The cyclic oxidation test at 1000 °C was done for two double ceramic layer coatings applied by agglomerates 600 °C and 900 °C and the conventional YSZ coating. According to the results of diffraction patterns and microstructural observations, the nanoparticles containing the main phases of LZ (lanthanum zirconate with low solubility of cerium cation) and LC (solid solution of cerium lanthanum zirconate) formed only in the La<sub>2</sub>(Zr<sub>0.7</sub>Ce<sub>0.3</sub>)<sub>2</sub>O<sub>7</sub> precursor precipitate calcined at 900 °C because of relatively high calcination temperature. However, both double ceramic layer coatings were composed of LZ and LC phases, and these coatings were as nano-TBCs with vertical cracks. The coating applied by agglomerates 600 °C had relatively less compaction compared to the coating applied by agglomerates 900 °C. The results of the cyclic oxidation test showed that only the coating applied by agglomerates 600 °C had a desirable performance. Proper microstructural compaction and the presence of vertical cracks in this coating caused this performance. Morphology of the layers of this coating remained sound after 924 thermal cycles. While propagating crack was formed around the TGO/YSZ interface in the conventional YSZ coating after cyclic oxidation test.

**Keywords:** Vertical cracks, Cerium lanthanum zirconate, LZ + LC, Nanostructured DCL coating, Cyclic oxidation.

E-mail of corresponding author: Ziavalefi@ut.ac.ir.

## مقدمه

اکسیداسیون پوشش‌های  $\text{La}_2\text{Zr}_2\text{O}_7$  و  $\text{Gd}_2\text{Zr}_2\text{O}_7$  در دمای  $1300^{\circ}\text{C}$  به مدت ۲۵ ساعت مشاهده شد. در این پوشش‌ها با ضخیم شدن لایه اکسید رشد یافته حرارتی در حین اکسیداسیون دمای بالا، لایه‌های سرامیکی  $\text{La}_2\text{Zr}_2\text{O}_7$  و  $\text{Gd}_2\text{Zr}_2\text{O}_7$  تقریباً به طور کامل کنده شدند [۹]. یکی دیگر از معایب اصلی پوشش‌های سد حرارتی زیرکونات نادر خاکی، واکنش پذیری لایه سرامیکی زیرکوناتی با فاز آلمینیای موجود در لایه TGO است. لایه میانی به طور موفقیت‌آمیزی به عنوان سد نفوذی در مقابل این واکنش به کار برده شده است. تحت این شرایط یک پوشش دولایه سرامیکی زیرکونات نادر خاکی/YSZ ایجاد می‌شود [۸, ۱۰]. در این وضعیت خواص دمای بالای بهتری در مقایسه با پوشش‌های تک لایه سرامیکی زیرکونات نادر خاکی و یا YSZ بدست می‌آید [۱۱].

در دو دهه اخیر کارهای تحقیقاتی گسترهای در مورد YSZ /  $\text{Gd}_2\text{Zr}_2\text{O}_7$  عملکرد پوشش‌های دولایه سرامیکی  $\text{La}_2\text{Zr}_2\text{O}_7$  [۱۱-۱۲] و YSZ /  $\text{La}_2\text{Zr}_2\text{O}_7$  صورت گرفته است [۱۱, ۱۲-۱۹]. هر دو این ترکیبات زیرکوناتی در حالت بالک از هدایت حرارتی بسیار کمی برخوردار بوده ( $\text{W}/\text{mK}$ ) و  $1.5-1.6$  در مقابل عدد  $2/3 \text{ W}/\text{mK}$  برای ترکیب YSZ) و تا دمای‌های نزدیک به  $1550^{\circ}\text{C}$  پایداری فازی و ریزساختاری لازم را دارند. اما ضریب انبساط حرارتی آن‌ها نسبت به YSZ قدری پایین بوده (به خصوص ترکیب  $\text{La}_2\text{Zr}_2\text{O}_7$  که همین مسئله موجب شده است تا کاربرد این ترکیبات در پوشش‌های پاشش پلاسمایی معمولی محدود شود [۲۳, ۸]. بنابراین برای رفع این مشکل بایستی با اصلاح ترکیب شیمیایی، ضریب انبساط حرارتی را تا مقادیر نزدیک به ضریب YSZ افزایش داد.

سرامیک  $\text{La}_2\text{Zr}_2\text{O}_7$  (LZ) برخلاف ترکیب  $\text{Gd}_2\text{Zr}_2\text{O}_7$  تا نقطه ذوبش در دمای  $2300^{\circ}\text{C}$  دارای ساختار تک فاز پایروکلر منظم است. هر دو مکان‌های  $\text{Zr}^{4+}$  و  $\text{La}^{3+}$  این ترکیب نیز می‌توانند بوسیله شمار گسترهای از عناصر دیگر با شاعع یونی متفاوت و مشابه با حالت یونیزاسیون

ترکیب زیرکونیای پایدار شده با ایتریا (YSZ) در مقیاس صنعتی به عنوان لایه سرامیکی در پوشش‌های سد حرارتی (TBC) مورد استفاده قرار می‌گیرد. سرامیک YSZ در دماهای بالاتر از  $1200^{\circ}\text{C}$  پایداری فازی خود را از دست داده و با سرعت نسبتاً بالایی زینتر می‌شود. این وضعیت عملکرد پوشش‌های YSZ را در شرایط اعمال سیکل‌های حرارتی به شدت تحت تأثیر قرار داده و موجب ازکارفتادگی زودرس آنها می‌شود. ترکیبات اکسیدی دیگر نظریزیرکونیا پایدار شده با اکسیدهای نادر خاکی دیگر (غیر از ایتریا یا همراه با آن)، هگزا آلمینیات لانتانیم، زیرکونات لانتانیم ( $\text{La}_2\text{Zr}_2\text{O}_7$ )، سریوم لانتانات (La<sub>2</sub>Ce<sub>2</sub>O<sub>7</sub>) و پروسکایتها (SrZrO<sub>3</sub>) توسط محققان جهت به کارگیری در پوشش‌های سد حرارتی مورد توجه قرار گرفته‌اند، تا این محلودیت‌های پوشش سد حرارتی YSZ را رفع کنند [۳-۱].

ساختارهای پایروکلر منظم با فرمول کلی  $\text{A}_2\text{B}_2\text{O}_7$  به دلیل خواص منحصر بفردی که در دماهای کاری بالاتر از دمای پایداری ترکیب YSZ دارند، بیشتر از سایر ترکیبات اکسیدی ذکر شده جهت اعمال به عنوان لایه سرامیکی در پوشش‌های سد حرارتی جدید مورد تحقیق و پژوهش قرار گرفته‌اند [۴-۶]. در میان این ساختارها، زیرکونات‌های نادر خاکی به صورت  $\text{A}_2\text{Zr}_2^{3+}(\text{Zr})_2^{4+}\text{O}_7$  که عنصر A نشان‌دهنده عنصر نادر خاکی (Yb تا La) است، به دلیل نقطه ذوب بالا، پایداری فازی خوب و هدایت حرارتی بسیار پایین به طور گستره توسط محققان جهت کاربرد در نسل بعدی پوشش‌های سد حرارتی پیشنهاد شده‌اند [۷, ۸].

در صورتی که زیرکونات‌های نادر خاکی مستقیماً بر روی لایه فلزی MCrAlY اعمال شده و تشکیل یک پوشش تک لایه سرامیکی را دهنند، به علت عدم انطباق لایه اکسید رشد یافته حرارتی (TGO) ایجاد شده در حین کارکرد با لایه سرامیک زیرکونات نادر خاکی، شرایط تخریب زودهنگام در آنها اتفاق می‌افتد. این مورد در نتایج آزمون

اختلاف ضریب انبساط حرارتی بین دو لایه YSZ و  $\text{La}_2(\text{Zr}_{0.7}\text{Ce}_{0.3})_2\text{O}_7$  در پوشش‌های دولایه سرامیکی پاشش پلاسمایی شده، فصل مشترک بین این لایه‌ها عامل شکست و از کارافتادگی پوشش در شرایط اعمال سیکل‌های حرارتی است. در نتیجه برای اینکه بتوان این مشکل را رفع کرد باید تا جایی که امکان دارد تائفنس شکست لایه سرامیکی  $\text{La}_2(\text{Zr}_{0.7}\text{Ce}_{0.3})_2\text{O}_7$  را افزایش یابد. ایجاد مناطق نانوساختار در ریزساختار پوشش یکی از این راه‌کارهای است. در این زمینه مطالعات بسیار محدودی صورت گرفته است [۳۵]. اما خواص پوشش‌های سد حرارتی نانوساختار  $\text{YSZ} / \text{La}_2(\text{Zr}_{0.7}\text{Ce}_{0.3})_2\text{O}_7$  تاکنون به طور مبسوط مورد تجزیه و تحلیل قرار نگرفته‌اند.

در این پژوهش ابتدا رسوب پیش‌ماده زیرکونات لانتانیم سریوم توسط روش شیمی‌تر سنتز شده و سپس این رسوب تحت عملیات کلسانیاسیون قرار گرفت. یک محدوده دمایی مشخص برای عملیات کلسانیاسیون رسوب پیش‌ماده در نظر گرفته شد تا از طریق آن بهترین شرایط ممکن جهت سنتز نانوذرات نیمه‌کریستاله زیرکونات لانتانیم سریوم بدست آید. این نانوذرات، آگلومره شده و سپس توسط فرایند پاشش پلاسمایی اتمسفری بر روی زیرلایه‌ها اعمال و موجب تشکیل پوشش‌های نانوساختار  $\text{YSZ}/\text{La}_2(\text{Zr}_{0.7}\text{Ce}_{0.3})_2\text{O}_7$  شدند. این پوشش‌ها دارای ترک‌های عمودی امتداد یافته در راستای ضخامت لایه روی  $\text{La}_2(\text{Zr}_{0.7}\text{Ce}_{0.3})_2\text{O}_7$  بودند. همه پوشش‌های اعمال شده تحت آزمون اکسیداسیون سیکلی در حداقل دمای  $1000^{\circ}\text{C}$  قرار گرفته و مقاومت به اکسیداسیون سیکلی آن‌ها نیز بررسی شد.

#### مواد و روش آزمایش‌ها

نمک‌های  $\text{ZrOCl}_2 \cdot 8\text{H}_2\text{O}$ ,  $\text{Ce}(\text{NO}_3)_3 \cdot 6\text{H}_2\text{O}$  و پودر میکرونی اکسید لانتانیم با  $\geq 99.9\%$  خلوص به عنوان مواد اولیه برای تشکیل محلول پیش‌ماده زیرکونات لانتانیم سریوم انتخاب شدند. این محلول به مدت ۲۴ ساعت در دمای  $150^{\circ}\text{C}$  حرارت داده شد تا یک رسوب آمورف حاوی نانوذرات از آن تشکیل شود. به منظور تعیین محدوده

چهار و یا سه ظرفیتی جایگزین شوند. تحت این شرایط می‌توان ضریب انبساط حرارتی LZ را افزایش و همچنین هدایت حرارتی آن را بیشتر کاوش داد [۲۴-۲۵]. هونگمینگ<sup>۱</sup> و همکارانش [۲۶] در زمینه به کار بردن  $\text{Zr}^{4+}$  هم‌زمان عناصر ناخالصی در مکان‌های  $\text{La}^{3+}$  و  $\text{La}_{1.7}(\text{DyNd})_{0.15}(\text{Zr}_{0.8}\text{Ce}_{0.2})_2\text{O}_7$  تحقیقاتی را انجام دادند و تواستند از طریق روش فراوری شیمیایی، پایروکلر منظم  $\text{La}_2\text{Zr}_2\text{O}_7$  بوده و ضریب انبساط تک فاز را سنتز کنند. هدایت حرارتی این ترکیب نزدیک به ۲۶ درصد کمتر از  $\text{La}_2\text{Zr}_2\text{O}_7$  بوده و ضریب انبساط حرارتی آن نیز حتی بالاتر از  $8\text{YSZ} / (11 \times 10^{-6} / ^{\circ}\text{C})$  بدلست آمد. نتایج رضایت‌بخشی نیز در مورد خواص ترموفیزیکی سرامیک  $\text{La}_2\text{Zr}_2\text{O}_7$  دوپ شده با اکسیدهای ساماریوم و سریوم منطبق با ترکیب شیمیایی  $(\text{Sm}_{0.5}\text{La}_{0.5})_2(\text{Zr}_{0.8}\text{Ce}_{0.2})_2\text{O}_7$  توسط تیم تحقیقاتی هونگ سونگ<sup>۲</sup> و همکارانش حاصل شد (ضریب انبساط حرارتی معادل با  $10^{-6} / ^{\circ}\text{C} (10,3 \times 10^{-6} / ^{\circ}\text{C})$  [۲۷]).

کاو<sup>۳</sup> و همکارانش [۲۸] بر روی به کار بردن عنصر ناخالصی فقط در مکان  $\text{Zr}^{4+}$  متوجه شدند. آن‌ها بخشی از کاتیون‌های زیرکونیم را با سریوم جانشین کردند  $(\text{La}_2(\text{Zr}_{1-x}\text{Ce}_x)_2\text{O}_7)$  و به این نتیجه رسیدند که در مقدار مولی  $x=0.4$  خواص حرارتی بهینه‌ای حاصل می‌شود. بر مبنای نتایج تحقیقات آزمایشگاهی هدایت حرارتی و ضریب انبساط حرارتی این ترکیب در دمای  $1000^{\circ}\text{C}$  به  $87 \text{ W/mK}$  و  $10,66 \times 10^{-6} / ^{\circ}\text{C}$  بود [۲۹]. این خواص منحصر بفرد ترکیب  $\text{La}_2(\text{Zr}_{0.7}\text{Ce}_{0.3})_2\text{O}_7$  (زیرکونات لانتانیم سریوم) موجب شد تا امکان به کارگیری آن در نسل بعدی پوشش‌های سد حرارتی به طور جدی و عملیاتی مورد بررسی قرار گیرد [۳۰-۳۴]. اما اکثر این تحقیقات بر روی خواص پوشش‌های میکروساختار زیرکونات لانتانیم سریوم متوجه شدند. حال آنکه به دلیل

1- Hongming

2- Hong song

3- Cao

آگلومره  $600^{\circ}\text{C}$  و  $900^{\circ}\text{C}$  (پودرهای کلسینه شده در این دماها که تحت فرایند آگلومراسیون قرار گرفتند) بر روی لایه میانی و با ضخامت متوسط  $200\text{ }\mu\text{m}$  پوشش داده شد. این دو نوع پوشش دولایه سرامیکی به ترتیب با کدهای  $600\text{DCL}$  و  $900\text{DCL}$  نام‌گذاری شدند. پارامترهای بهینه پاشش پلاسمایی این دو نوع پوشش، یکسان در نظر گرفته شدند. این پارامترها در جدول ۱ آورده شده‌اند. هم‌چنین این نکته را بایستی در نظر داشت که پارامترهای پاشش پلاسمایی لایه‌های اتصال فلزی و رویی برای پوشش YSZ معمولی دقیقاً مطابق با پارامترهای لایه‌های اتصال فلزی و میانی در جدول ۱ هستند.

جدول ۱. پارامترهای بهینه پاشش پلاسمایی لایه‌های اتصال فلزی، میانی و رویی پوشش‌های دولایه سرامیکی  $600\text{DCL}$  و  $900\text{DCL}$

لایه رویی	لایه میانی	لایه اتصال فلزی	پارامترهای فرایند پاشش پلاسمایی
۳۵	۳۵	۶۵	آرگون (لیتر بر دقیقه)
۸	۱۲	۱۲	هیدروژن (لیتر بر دقیقه)
۲	۲/۵	۲/۳	گاز حامل (آرگون) (لیتر بر دقیقه)
۱۵	۳۴	۴۰	نرخ تغذیه پودر (گرم بر دقیقه)
۶۰	۱۰۰	۱۲۰	فاصله پاشش (میلی‌متر)
۹۰-۱/۵	۹۰-۱/۵	۹۰-۱/۵	قطر و زاویه انژکتور (میلی‌متر - درجه)
۶۰۰	۶۰۰	۴۵۰	جریان (آمپر)
۵۲	۵۴	۶۰	ولتاژ (ولت)
۶/۶	۶/۶	۶/۶	سرعت ربات (میلی‌متر بر ثانیه)
۱۰۰	۱۰۰	۱۰۰	سرعت میز (دور بر دقیقه)

دمای پیرولیز، رسوب حاوی نانوذرات تحت آنالیز حرارتی افتراکی DTA/TG تا حداقل دمای  $1400^{\circ}\text{C}$  قرار گرفت و سپس این رسوب در دماهای  $400^{\circ}\text{C}$ ،  $600^{\circ}\text{C}$ ،  $700^{\circ}\text{C}$  و  $800^{\circ}\text{C}$  در کوره مافلی تحت اتمسفر هوای معمولی کلسینه شد. پودرهای کلسینه شده در دماهای  $600^{\circ}\text{C}$  و  $900^{\circ}\text{C}$  به صورت جداگانه با چسب PVA مخلوط شده تا به یک حالت خمیری شکل درآیند. سپس پودرهای خمیری در دمای  $150^{\circ}\text{C}$  حرارت داده شدند تا یک محصول کاملاً خشک دربرگیرنده کلوخه‌هایی از نانوذرات بهم چسبیده تشکیل شود. در نهایت این کلوخه‌ها پس از آسیاب از سرندهایی با مشاهی  $100$  و  $500$  عبور داده شده و آگلومره‌های با اندازه ذرات  $150\text{ }\mu\text{m}$ - $25\mu\text{m}$  جهت استفاده در فرایند پاشش پلاسمایی جدا شدند.

زیرلایه‌های انتخاب شده برای پوشش دهی به شکل دیسک (قطر  $20\text{ mm}$  و ضخامت  $3\text{ mm}$ ) و از جنس Hastelloy X بودند. سطح این نمونه‌ها با روش ذره‌پاشی و با استفاده از ذرات آلومینای سفید با مش  $24\text{ }\mu\text{m}$  تا مقادیر  $R_a=7/5$  زبر شدند. فرایند اعمال پوشش بر روی نمونه‌های PlasmaTechnik زبر شده بوسیله دستگاه پاشش پلاسمایی A3000S مجهز به گان F4 انجام گرفت. دو سری پوشش دولایه سرامیکی و یک سری پوشش YSZ معمولی توسط این دستگاه بر روی نمونه‌ها اعمال شدند. لایه اتصال فلزی<sup>۱</sup> همه پوشش‌ها توسط پودر تجاری AMDRY 962 (Oerlikon METCO) و با ضخامت متوسط  $180\text{ }\mu\text{m}$  ایجاد شد. لایه میانی<sup>۲</sup> در پوشش‌های دولایه سرامیکی و لایه رویی<sup>۳</sup> در پوشش YSZ معمولی (تک‌لایه سرامیکی) نیز با استفاده از پودر 8YSZ با کد تجاری G METCO 204NS-G (Oerlikon METCO) و ضخامت متوسط به ترتیب معادل با  $110\text{ }\mu\text{m}$  و  $300\text{ }\mu\text{m}$  بر روی لایه اتصال فلزی اعمال شدند.

لایه رویی در پوشش‌های دولایه سرامیکی توسط دو نوع

1- Bond coat

2- Middle coat

3- Top coat

قطر و زاویه انژکتور، سرعت ربات و سرعت میز در پارامترهای اولیه دقیقاً منطبق با مقادیر جدول ۱ بودند. پس از بررسی نتایج پوشش‌های اعمال شده توسط سه پارامتر جدول ۲، پارامتر بهینه پاشش پلاسمایی تعیین شد (پارامترهای جدول ۱). این پارامتر شرایط مناسبی از لحاظ مورفولوژی و تراکم لایه‌های پوشش (در جهتی که علی‌رغم استحکام مناسب، کسر حجمی متوسطی از مناطق ذوب نشده شامل نانوذرات نیز در ریزساختار پوشش وجود داشت) ایجاد کرد و هم‌چنین موجب تشکیل ترک‌های عمودی در امتداد کل ضخامت لایه رویی گردید.

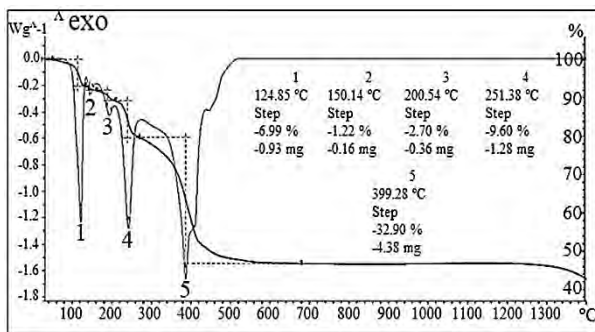
نمونه‌های دیسکی شکل پوشش داده شده تحت آزمون اکسیداسیون سیکلی در کوره شوک حرارتی با اتمسفر هوای معمولی قرار گرفتند. روند هر سیکل حرارتی بدین صورت بود که ابتدا دما از  $200^{\circ}\text{C}$  تا  $1000^{\circ}\text{C}$  به مدت ۱۵ دقیقه افزایش داده شد، سپس به مدت ۱۵ دقیقه در دمای ثابت  $1000^{\circ}\text{C}$  نگه داشته شد و در نهایت از طریق هوای فشرده با فشار معادل با  $1/8 \text{ kg/cm}^2$  در مدت زمان ۱۵ دقیقه دمای کوره تا دمای اولیه  $200^{\circ}\text{C}$  کاهش پیدا کرد. وزن نمونه‌ها پس از قرارگیری آن‌ها در تعداد سیکل‌های مختلف توسط ترازوی آزمایشگاهی مدل AND Sاخت کشور ژاپن با دقت ۴ رقم اعشار به طور متناسب اندازه‌گیری شد. سیکل‌های حرارتی درست تا زمانی که حداقل در یکی از نمونه‌ها کاهش وزن با شبیب نسبتاً تنیدی اتفاق بیفتند، ادامه پیدا کرد. تصاویر ریزساختاری از پودرهای کلسینه شده و سطح رویی پوشش‌ها با استفاده از میکروسکوپ الکترونی روبشی گسیل میدانی<sup>۱</sup> مدل MIRA3 TESCAN تحت ولتاژهای ۱۰ و ۱۵ کیلوولت گرفته شدند. مشخصات ریزساختاری سطح مقطع پولیش شده پوشش‌های دولایه سرامیکی قبل و پس از انجام آزمون اکسیداسیون سیکلی توسط میکروسکوپ الکترونی روبشی مدل VEGA TESCAN تحت ولتاژ ۲۰ کیلوولت و مجهز به دستگاه طیفسنجی

پارامترهای اولیه پاشش پلاسمایی لایه رویی هر دو پوشش دولایه سرامیکی براساس مشابهت‌سازی با پارامترهای اصلی لایه میانی انتخاب شدند. نتایج پوشش‌دهی نمونه‌های اول با این پارامترها نشان داد که به دلیل مورفولوژی نه‌چندان متراکم آگلومرها، امکان آن وجود نداشت که به‌توان با میزان پودر معادل با  $34 \text{ g}$  بر دقیقه پوشش‌دهی مناسبی را انجام داد. در نتیجه نرخ تغذیه پودر تا حدی که شرایط بهینه‌ای برای فرایند پوشش‌دهی حاصل شود کاهش پیدا کرد ( $15 \text{ g}$  بر دقیقه). در این وضعیت نرخ گاز حامل هم تا میزانی که حالت استاندارد پاشش حاصل شود، کم شد ( $2 \text{ liter}$  بر دقیقه). در حالت فاصله پاشش نیز در فواصل  $80 \text{ میلی‌متر}$  و  $90 \text{ cm}$  امکان اعمال لایه رویی پوشش‌ها حاصل شد. لیست این پارامترهای اولیه برای اعمال لایه رویی پوشش‌های دولایه سرامیکی در جدول ۲ آورده شده‌اند. لایه رویی دو نوع پوشش  $600 \text{ DCL}$  و  $900 \text{ DCL}$  با هر سه پارامتر اولیه آورده شده در جدول ۲ اعمال شد.

جدول ۲. پارامترهای اولیه پاشش پلاسمایی لایه رویی پوشش‌های دولایه سرامیکی  $600 \text{ DCL}$  و  $900 \text{ DCL}$

پارامتر سوم	پارامتر دوم	پارامتر اول	پارامترهای فرایند پاشش پلاسمایی
۳۵	۳۵	۳۵	آرگون (لیتر بر دقیقه)
۸	۱۲	۱۲	هیدروژن (لیتر بر دقیقه)
۲	۲	۲	گاز حامل (آرگون) (لیتر بر دقیقه)
۱۵	۱۵	۱۵	نرخ تغذیه پودر (گرم بر دقیقه)
۸۰	۶۰	۸۰	فاصله پاشش (میلی‌متر)
۶۰۰	۶۰۰	۶۰۰	جریان (آمپر)
۵۲	۵۴	۵۴	ولتاژ (ولت)

$600^{\circ}\text{C}$  هیچ‌گونه کاهش وزنی رخ نداده است. این شرایط نشان دهنده کامل شدن فرایند پیرولیز در دمای  $600^{\circ}\text{C}$  می‌باشد. وانگ<sup>۳</sup> و همکارانش نیز [۳۵] رفتار حرارتی رسوب  $\text{La}_2(\text{Zr}_{0.7}\text{Ce}_{0.3})_2\text{O}_7$  را مورد مطالعه قرار داده و دمای  $600^{\circ}\text{C}$  را به عنوان دمای توقف کاهش وزن گزارش کردند.



شکل ۱. منحنی DTA-TG رسوب حاصل از محلول پیش‌ماده زیرکونات لانتانیم سریوم (سرعت گرمایش  $10\text{ K/min}$  از دمای  $25^{\circ}\text{C}$  تا  $1400^{\circ}\text{C}$ ).

با در نظر گرفتن نتایج آنالیز حرارتی DTA-TG محدوده دمای کلسیناسیون رسوب حاصل از محلول پیش‌ماده زیرکونات لانتانیم سریوم (رسوب پیش‌ماده) تعیین شد. نتایج الگوهای پراش سنجی پرتو ایکس رسوب کلسیناسیون شده در دماهای  $0^{\circ}\text{C}$  و  $400^{\circ}\text{C}$  به مدت ۴ ساعت در شکل ۲ آورده شده‌اند. همانطورکه از این شکل پیداست، اثرات ضعیفی از فازهای کریستاله در الگوی پراش رسوب کلسیناسیون شده در دمای  $400^{\circ}\text{C}$  به مدت ۴ ساعت قابل شناسایی بوده و این رسوب را باید تقریباً آمورف به حساب آورد. یک پیک گرمگیر با شیب تند در دمای تقریباً  $400^{\circ}\text{C}$  در آنالیز حرارتی DTA رسوب پیش‌ماده مطابق با شکل ۱ به وقوع پیوست. با تطابق نتایج الگوی پراش رسوب پیش‌ماده کلسیناسیون شده در این دما (شکل ۲) با شکل ۱ به نظر می‌رسد که دمای وقوع واکنش‌های زیر را باید  $400^{\circ}\text{C}$  در نظر گرفت:

- آزادسازی آب ساختاری از گروه‌های

هیدروکسیل

3- Wang

توزیع انرژی<sup>۱</sup> مدل RONTEC ارزیابی شدند. سطح تمامی پودرهای کلسینه شده و کلیه پوشش‌ها قبل از هر گونه تصویربرداری میکروسکوپی الکترونی بوسیله دستگاه کندوپاش به مدت ۱۰ دقیقه با ولتاژ  $6\text{ kV}$  و جریان  $5\text{ mA}$  در حد چند نانومتر لایه نشانی طلا شدند. درصد تخلخل لایه رویی پوشش‌های دولایه سرامیکی نیز با استفاده از نرم افزار آنالیز تصویر Clemex 4 اندازه‌گیری شد.

مشخصات فازی پودرهای کلسینه شده، لایه رویی پوشش‌های دولایه سرامیکی و همچنین نمونه‌های پوشش پس از اتمام آزمون اکسیداسیون سیکلی بوسیله دستگاه X'Pert PRO MPD مدل PANalytical Company دارای آند مسی با طول موج  $\text{A}^{\circ}$   $K_{\alpha}=1,541\text{ nm}$ ، ولتاژ  $40\text{ kV}$ ، جریان  $40\text{ mA}$ ، اندازه گام  $0,026^{\circ}\text{ درجه}$  و در محدوده زوایای  $2\Theta$  از  $20^{\circ}$  تا  $80^{\circ}$  درجه مورد بررسی قرار گرفتند. شناسایی پیک‌های الگوهای پراش نیز با نرم افزار Xpert Highscore انجام شد.

## نتایج و بحث

نمودار DTA-TG رسوب حاصل از محلول پیش‌ماده در شکل ۱ نشان داده شده است. با در نظر گرفتن شکل مذکور دو پیک گرمگیر در دماهای  $125^{\circ}\text{C}$  و  $150^{\circ}\text{C}$  مشاهده است. این پیک‌ها موجب کاهش وزن در  $8,2\%$  در نمودار TG شدند. واکنش‌های انجام گرفته در این محلوده دماهای پایین، به نظر می‌رسد ناشی از آزاد شدن آب جذب شده به صورت فیزیکی توسط رسوب باشد. با افزایش دما دیگر در دماهای  $200,5^{\circ}\text{C}$ ،  $251^{\circ}\text{C}$  و  $399^{\circ}\text{C}$  در منحنی DTA قابل مشاهده است. این پیک‌ها احتمالاً به دلیل آزاد سازی آب ساختاری از ترکیبات La، Ce و یا حتی Zr همچنین تجزیه نیترات‌ها و کلراید‌ها بوجود آمده‌اند. منحنی TG در شکل ۱ نشان می‌دهد که در دماهای بالاتر از

1 - Energy dispersive spectroscopy (EDS)

2 - XRD

• استحاله Zr-O-Zr- آمورف به کریستال‌های



حضور همزمان فازهای پایروکلر ( $\text{La}_2\text{Zr}_2\text{O}_7$ ) (LZ) و  $\text{La}_2(\text{Zr}_{0.7}\text{Ce}_{0.3})_2\text{O}_7$  فلوریت LC در سیستم چهار جزئی را به همراه خواهد داشت که موجب می‌شود تا این ترکیبات با اطمینان بالایی به عنوان لایه رویی در پوشش‌های سد حرارتی جدید به کار بrede شوند [۲۹، ۳۷، ۳۸]. فاز LC که در قسمت‌های قبلی معرفی شد، فاز LZ نیز در اصل بایستی زیرکونات لانتانیم دارای مقادیر جزئی سریوم حل شده در نظر گرفته شود [۳۴]. فاز فلوریت LC در الگوی پراش رسوب کلسینه شده در دمای  $600^\circ\text{C}$  تشکیل شد. اما به دلیل عدم شناسایی فاز اصلی LZ و پیشرفت جزئی فرایند کریستالیزاسیون در این نوع پودر، باید فرایند کلسیناسیون رسوب پیش‌ماده را در دماهای بالاتر نیز بررسی کرد.

الگوهای پراش پرتو ایکس رسوب کلسینه شده در دماهای  $300^\circ\text{C}$ ،  $400^\circ\text{C}$  و  $500^\circ\text{C}$  به مدت ۷ ساعت در شکل ۳ ارائه شده‌اند. مطابق با الگوهای پراش شکل ۳ در دماهای کلسیناسیون  $700^\circ\text{C}$  و  $800^\circ\text{C}$  نیز همانند رسوب کلسینه شده در دمای  $600^\circ\text{C}$  تشخیص همزمان فازهای اصلی LZ و LC ممکن نشد. نتایج فازشناسی الگوی پراش رسوب کلسینه شده در دمای  $900^\circ\text{C}$  تشکیل فازهای اصلی LZ و LC را به اثبات رساند. اما در این دمای کلسیناسیون نیز اثرات ناشی از پراکنش زمینه متأثر از حضور فاز آمورف به حدی بود که شرایط برای پراش پیک‌های فازهای کریستالی با شدت زیاد و دامنه زاویه‌ای باریک فراهم نشد. ساختار کریستالی فاز LZ در الگوی پراش پودر کلسینه شده در دمای  $900^\circ\text{C}$  بایستی از نوع فلوریت به حساب آورده شود. به دلیل آنکه هیچ‌کدام از پیک‌های پراش مربوط به صفحات فوق شبکه (۳۳۱)، (۵۱۱) و (۳۱۱) در الگوی پراش شناسایی نشدند. حضور این پیک‌ها فقط در ساختار پایروکلر LZ وجود داشته و در نبود آن‌ها فاز مذکور را باید فلوریت در نظر گرفت [۲۳].

• تجزیه نیترات‌ها و کلرایدها

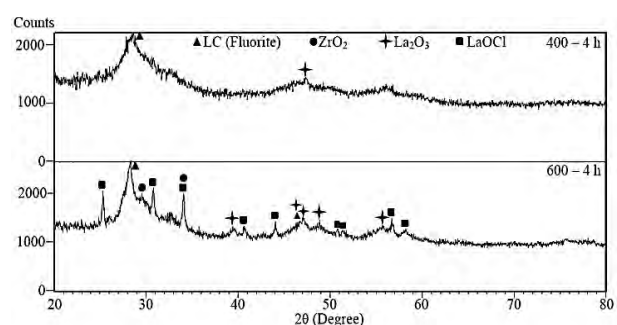
• استحاله La-O-La- آمورف به کریستال‌های



• استحاله La-O-Ce- آمورف به فاز فلوریت LC

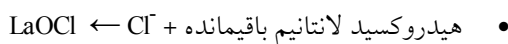
نکته‌ای که بایستی در اینجا مد نظر قرار داد مربوط به ترکیب شیمیابی اصلی فاز فلوریت LC یا همان سرات لانتانیم ( $\text{La}_2\text{Ce}_2\text{O}_7$ ) می‌شود. این فاز به دلیل آنکه در حالت ساختاری فلوریت استحاله می‌یابد، مقادیر متوسطی از کاتیون چهار ظرفیتی زیرکونیم را به عنوان ناخالصی می‌تواند در خود حل کند. بنابراین این فاز در اصل بایستی محلول جامد زیرکونات لانتانیم سریوم ( محلول جامدی متشکل از کاتیون‌های سه ظرفیتی لانتانیم و چهار ظرفیتی سریوم و زیرکونیم) به حساب آورده شود [۳۴].

الگوی پراش رسوب کلسینه شده در دمای  $600^\circ\text{C}$  در شکل ۲ نشان می‌دهد که در این دما علاوه بر فاز فلوریت LC، ترکیبات  $\text{LaOCl}$ ،  $\text{ZrO}_2$  و  $\text{La}_2\text{O}_3$  نیز تشکیل شدند. حضور این ترکیبات به دلیل غیر یکنواختی جزئی در رسوب پیش‌ماده و تشکیل هیدورکسیدهای مجزا از عناصر La و Zr بوجود آمده‌اند. به عنوان نمونه فاز  $\text{LaOCl}$  حاصل واکنش بین هیدروکسید لانتانیم با یون  $\text{Cl}^-$  است [۳۶].



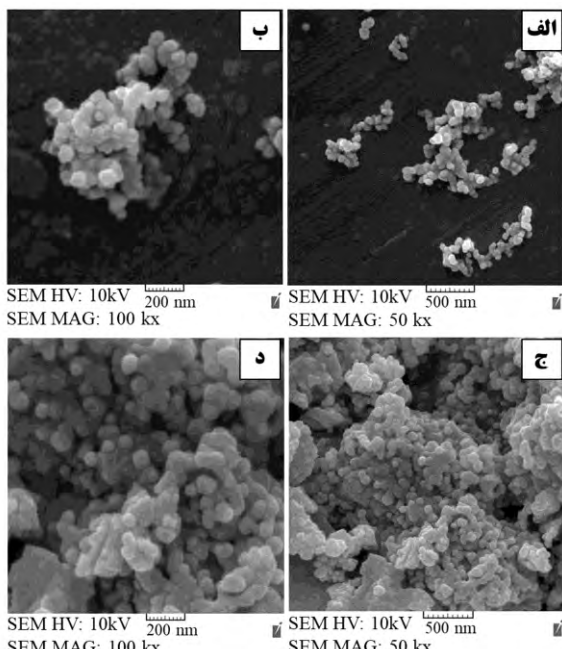
شکل ۲. الگوهای پراش پرتو ایکس رسوب کلسینه شده در دماهای  $600^\circ\text{C}$  و  $400^\circ\text{C}$

واکنش‌هایی که احتمال می‌رود در دمای کلسیناسیون  $600^\circ\text{C}$  رخ داده باشند در زیر لیست شده‌اند:



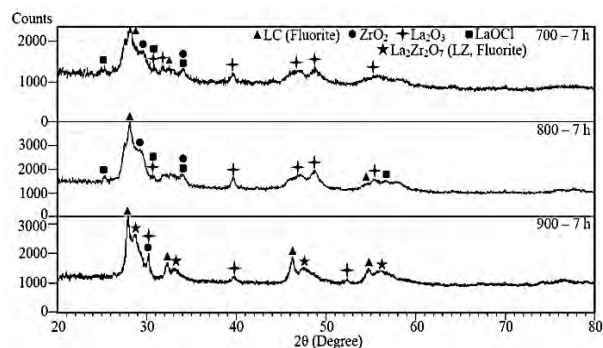
دمای پیرولیز رسوب پیش‌ماده بود، به منظور بررسی‌های بیشتر ریزساختاری و در نهایت به کار بردن آن در فرایند پوشش‌دهی پاشش پلاسمایی انتخاب شد. در این حالت به دلیل دمای فرایندی کمتر، احتمال آنکه کل ذرات رسوب کلسینه‌شده در مقیاس نانوذرات قرار گیرند، بالاتر از دو دمای دیگر کلسیناسیون خواهد بود. بررسی‌های ریزساختاری در مورد رسوب کلسینه‌شده در دمای  $900^{\circ}\text{C}$  نیز انجام گرفت.

تصاویر FESEM رسوب کلسینه‌شده در دماهای  $600^{\circ}\text{C}$  و  $900^{\circ}\text{C}$  در شکل ۴ نشان داده شده‌اند. مشاهدات میکروسکوپی در شکل ۴ (الف) و (ب) به‌وضوح نشان می‌دهد که تمامی ذرات رسوب کلسینه‌شده در دمای  $600^{\circ}\text{C}$  در محدوده اندازه ساختارهای نانو قرار دارند. این نانوذرات دارای ریخت شبه کروی بوده و اندازه قطر همگی آن‌ها کمتر از  $100$  نانومتر است.



شکل ۴. تصاویر FESEM از رسوب کلسینه‌شده در دماهای (الف) و (ب):  $900^{\circ}\text{C}$ ، (ج) و (د):  $600^{\circ}\text{C}$

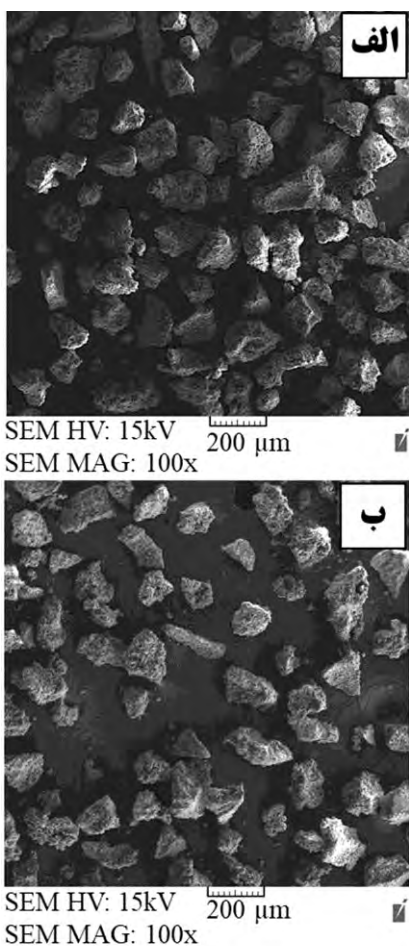
همانطورکه از تصاویر میکروسکوپی مربوط به رسوب کلسینه‌شده در دمای  $900^{\circ}\text{C}$  (شکل ۴ (ج) و (د)) قابل مشاهده است در اکثر مناطق ریزساختار، نانوذرات وجود



شکل ۳. الگوهای پراش پرتو ایکس رسوب کلسینه‌شده در دماهای  $900^{\circ}\text{C}$ ،  $800^{\circ}\text{C}$ ،  $700^{\circ}\text{C}$

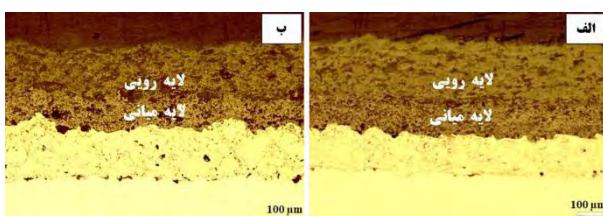
مشخصه اصلی ساختارهای پایروکلر، منظم شدن جاهای خالی اکسیژن در شبکه اتمی است. تحت این شرایط مقاومت به زیترینگ نیز افزایش می‌یابد [۲۳، ۸]. این ویژگی را باید اصلی‌ترین تفاوت بین ساختارهای فلوریت و پایروکلر LZ در نظر گرفت. استحاله منظم شدن (استحاله از فلوریت به پایروکلر) فرایندی زمانبر و بر پایه نفوذ اتمی بوده و در نتیجه برای تشکیل فاز پایروکلر منظم LZ در دمای کلسیناسیون  $900^{\circ}\text{C}$  باید رسوب پیش‌ماده را در این دما به مدت زیاد حرارت داد. راه جایگزین دیگر آن است که پوشش نهایی ایجاد شده توسط ذرات رسوب کلسینه‌شده در دمای  $900^{\circ}\text{C}$  (و یا حتی  $600^{\circ}\text{C}$ ) در شرایط دمایی بالا (آزمون اکسیداسیون سیکلی) قرار داده شود تا در حین عملکرد پوشش، استحاله فلوریت به پایروکلر در فاز LZ رخ دهد. به دلیل آنکه فاز فلوریت LZ شبیه‌پایدار بوده و در نهایت به فاز پایروکلر منظم پایدار تبدیل خواهد شد [۲۴].

تفاوتی از لحاظ نوع فازهای تشکیل شده در الگوهای پراش رسوب کلسینه‌شده در دماهای  $600^{\circ}\text{C}$ ،  $700^{\circ}\text{C}$  و  $800^{\circ}\text{C}$  (شکل‌های ۲ و ۳) مشاهده نشد. تنها تفاوت مشهود در زمینه شدت پیک‌ها هم مربوط به شدت پیک فاز LaOCl می‌شد که در الگوهای پراش در دماهای  $700^{\circ}\text{C}$  و  $600^{\circ}\text{C}$  در مقایسه با الگوی پراش در دمای  $800^{\circ}\text{C}$  به شدت کاهش یافته بود. در نتیجه از بین این سه دمای کلسیناسیون فقط دمای کلسیناسیون  $600^{\circ}\text{C}$  که منطبق بر



شکل ۵. تصاویر SEM از آگلومرهای فراوری شده: (الف) آگلومرهای  $600^{\circ}\text{C}$  و (ب): آگلومرهای  $900^{\circ}\text{C}$ .

تصاویر متالوگرافی از پوشش‌های دولایه سرامیکی اعمال شده توسط پارامتر اول در جدول ۲ به صورت شکل ۶ ارائه شده‌اند. همانطورکه از این شکل پیداست، شرایط ریزاساختاری لایه رویی پوشش به صورتی نیست که بتوان رشد ترکهای عمودی را در امتداد ضخامت پوشش تشخیص داد.



شکل ۶. تصاویر میکروسکوپی نوری از پوشش‌های دولایه سرامیکی اعمال شده توسط پارامتر اول در جدول ۲: (الف)  $600^{\circ}\text{CCL}$  و (ب)  $900^{\circ}\text{CCL}$ .

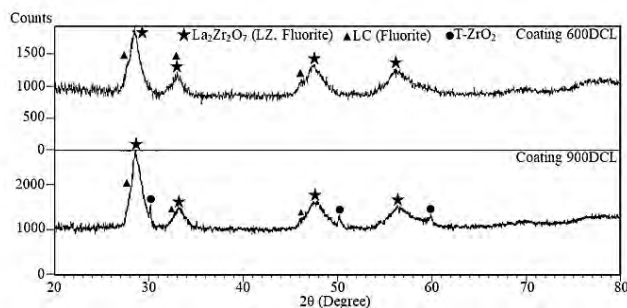
دارند. اما به علت آنکه این نانوذرات در دمای سطحی بالاتری در مقایسه با ذرات پودر کلسینه شده در دمای  $600^{\circ}\text{C}$  قرار گرفتند، مقداری از آنها زیتر شده و اتصال اولیه‌ای بین نانوذرات<sup>۱</sup> بوجود آمد. این نوع اتصال را در بعضی از مناطق شکل ۴ (د) می‌توان تشخیص داد. با وجود رخ دادن فرایند زیتر جزئی به دلیل کامل نشدن آن، رشد دانه گستردگی در ساختار نانوذرات به موقع نمی‌پیوست. بنابراین با در نظر گرفتن نتایج الگوی پراش در شکل ۳، رسوب کلسینه شده در دمای  $900^{\circ}\text{C}$  را باید به عنوان نانوذرات نیمه‌کریستاله شامل فازهای اصلی LC و LZ (هر دو با ساختار فلوریت) در نظر گرفت.

مشاهدات ریزاساختاری رسوب کلسینه شده در دمای  $900^{\circ}\text{C}$  به خوبی نشان داد که زیترینگ جزئی در نانوذرات رخ داده است. بنابراین افزایش دمای کلسیناسیون جهت رسیدن به فاز پایروکلر منظم LZ، فرایند زیترینگ ذرات رسوب را تشدید خواهد کرد و همچنین احتمال آنکه ساختار نهایی رسوب کلسینه شده از حالت نانوذرات خارج شود بسیار افزایش خواهد یافت.

تصاویر میکروسکوپی الکترونی روبشی از آگلومرهای رسوب کلسینه شده در دماهای  $600^{\circ}\text{C}$  و  $900^{\circ}\text{C}$  (آگلومرهای  $600^{\circ}\text{C}$  و  $900^{\circ}\text{C}$ ) در شکل ۵ نشان داده شده‌اند. همانطورکه از شکل ۵ پیداست، تفاوت مشهودی را نمی‌توان بین دو آگلومر فراوری شده تشخیص داد. مورفولوژی هر یک از آگلومرهای پلاسمایی توزه‌های بی‌شکل بوده و بعضی از آنها دارای گوشش‌های تیزی نیز هستند. این نوع مورفولوژی شرایط کاملاً بهینه‌ای را جهت تزریق داخل شعله پلاسمایی نمی‌آورد. اما جریان‌پذیری همین ذرات آگلومر شده در حدی بود که در حین فرایند پاشش پلاسمایی، تزریق آنها داخل شعله پلاسمایی به صورت پیوسته و با دبی ثابتی صورت گرفت.

1- Formation of necks between nanoparticles

بسیار کم قرارگیری ذرات پودر آگلومره داخل شعله پلاسماء، امکان تشکیل فاز پایروکلر منظم LZ بسیار بعيد به نظر می‌رسید.

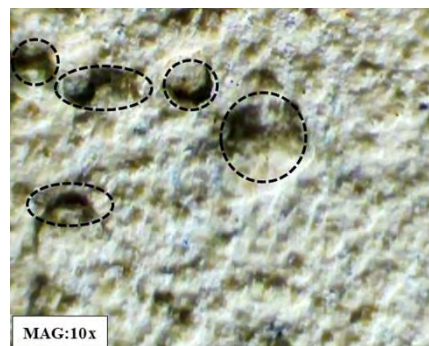


شکل ۸. الگوهای پراش پرتو ایکس لایه رویی پوشش‌های دولایه سرامیکی ۹۰۰DCL و ۶۰۰DCL

تنها تفاوت قابل تشخیص در الگوهای پراش پوشش‌های دولایه سرامیکی ۶۰۰DCL و ۹۰۰DCL در شکل ۸ مربوط به شدت بالاتر پیک‌های فاز LZ در الگوی پراش پوشش ۹۰۰DCL می‌شود. این وضعیت به دلیل وجود مقداری فاز LZ در ترکیب فازی ذرات پودر اولیه لایه رویی پوشش ۹۰۰DCL یعنی پودر کلسینه شده در دمای  $900^{\circ}\text{C}$  می‌باشد (الگوی پراش شکل (۳)).

تصاویر میکروسکوپی الکترونی روبشی از سطح مقطع پولیش شده پوشش‌های دولایه سرامیکی در شکل ۹ نشان داده شده‌اند. ترک‌های عمودی در لایه رویی هر دو نوع پوشش دولایه سرامیکی در امتداد ضخامت این لایه توسعه یافته‌اند و هم‌چنین نحوه توزیع آن‌ها در ریزساختار پوشش نسبتاً یکنواخت است. ترک‌های عمودی به دلیل دمای بالای زیرلایه در حین پوشش دهی ایجاد شدند. این وضعیت دمایی از طریق تنظیم کنترل شده توان پلاسماء و کاهش فاصله پاشش تا مقدار ۶۰ میلی‌متر حاصل شد. حضور این ترک‌ها در ریزساختار لایه رویی پوشش موجب می‌شود تا اثرات مخرب ناشی از تنش‌های حرارتی در حین کارکرد کاهش یابد. مقادیر درصد تخلخل لایه رویی پوشش‌های دولایه سرامیکی ۶۰۰DCL و ۹۰۰DCL تفاوت زیادی با هم نداشتند. آنچنانکه این میزان به ترتیب برای این

نتایج حاصل از اعمال لایه رویی پوشش‌های ۶۰۰DCL و ۹۰۰DCL توسط پارامتر دوم در جدول ۲ حاکی از آن بود که به دلیل شرایط کنترل نشده دمایی حین پوشش دهی و در پی آن افزایش بیش از حد دمای زیرلایه، لایه رویی پوشش به صورت موضعی کنده شد. این شرایط حاصل شده در تصویر استریوگرافی شکل ۷ به صورت حفرات تیره رنگ نشان داده شده است.

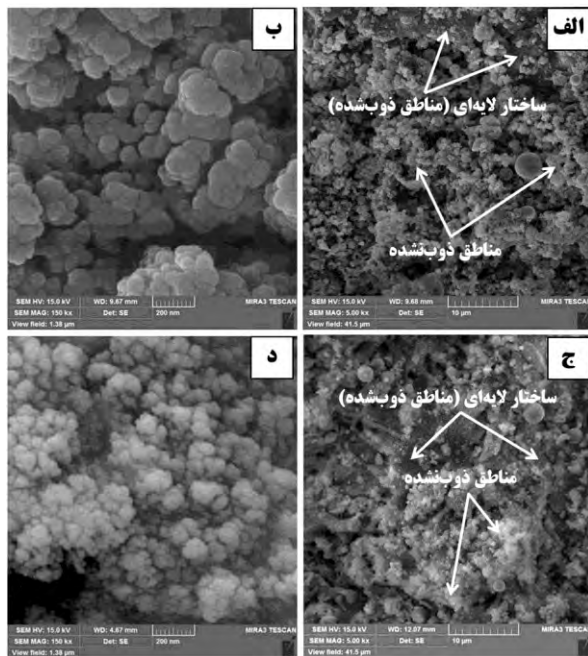


شکل ۷. تصویر استریوگرافی از سطح رویی پوشش ۶۰۰DCL اعمال شده توسط پارامتر دوم در جدول ۲، مناطقی کنده شده در شکل علامت‌گذاری شده‌اند.

پوشش‌های دولایه سرامیکی ۶۰۰DCL و ۹۰۰DCL اعمال شده توسط پارامتر سوم در جدول ۲ نیز همانند پوشش‌های اعمالی با پارامتر اول در جدول ۲ دارای ترک‌های عمودی توسعه یافته در امتداد ضخامت پوشش نبودند و هم‌چنین در این وضعیت میزان نشت لایه رویی پوشش بسیار پایین بود. در ادامه نتایج مربوط به پوشش‌های دولایه سرامیکی اعمال شده توسط پارامتر بهینه (جدول ۱) ارائه می‌شوند.

الگوهای پراش پرتو ایکس لایه رویی پوشش‌های دولایه سرامیکی ۶۰۰DCL و ۹۰۰DCL در شکل ۸ آورده شده‌اند. نتایج فازشناسی الگوهای پراش در شکل ۸ نشان داد که فازهای اصلی LZ و LC در هر دو نوع پوشش دولایه سرامیکی تشکیل شده‌اند. ساختار فاز LZ این پوشش‌ها همانند فاز LZ رسوب کلسینه شده در دمای  $900^{\circ}\text{C}$  از نوع فلوریت در نظر گرفته شود. هر چند با در نظر گرفتن شرایط غیر تعادلی حاکم بر فرایند پاشش پلاسمایی و زمان

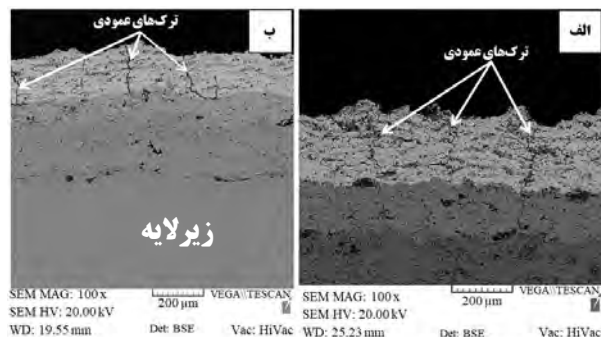
زیرلایه تشکیل می‌شود. جهت درک بهتر ماهیت ساختار لایه‌ای، تصاویر میکروسکوپی سطح مقطع شکست پوشش‌ها در منطقه مربوط به این ساختار نیز تهیه شد که در شکل ۱۱ می‌توان این تصاویر را مشاهده کرد.



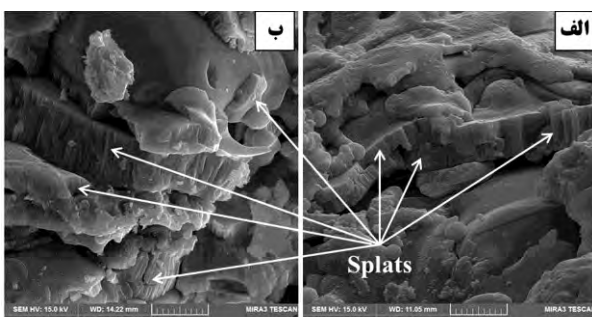
شکل ۱۰. تصاویر از سطح روبي پوشش‌های دولایه سراميکي:  
الف) و ب) ۶۰۰ DCL و د) ۹۰۰ DCL

پوشش‌ها برابر با  $13.1 \pm 1.1$  و  $12.1 \pm 0.7$  اندازه‌گيري شد. همچنان با دقت بيشتر در تصاویر میکروسکوپی شكل ۹ می‌توان دريافت که تراكم لایه روبي پوشش ۶۰۰ DCL در مقایسه با پوشش ۹۰۰ DCL قدری کمتر است. به دليل آنکه حجم نسبتاً گسترده‌تری از مناطق ذوب‌نشده را می‌توان در ريزساختار آن تشخيص داد. در حين توريق آگلومره‌های  $600^{\circ}\text{C}$  به داخل شعله پلاسمما، به دليل حضور فاز LaOCl داخل هر آگلومره و حذف سريع آن در حين پاشش، تراكم هر يك از آگلومره‌ها کاهش يافت. اين وضعیت در نهايت موجب کاهش نسبی درجه ذوب‌شدگی هر يك از آگلومره‌های  $600^{\circ}\text{C}$  شد.

تصاویر میکروسکوپي الکتروني روبي گسيل ميداني از سطح روبي پوشش‌های دولایه سراميکي در شکل ۱۰ آورده شده‌اند.



شکل ۹. تصاویر SEM از سطح مقطع پوليش شده پوشش‌های دولایه سراميکي: الف) ۶۰۰ DCL و ب) ۹۰۰ DCL



شکل ۱۱. تصاویر FESEM از سطح شکست لایه روبي پوشش‌های دولایه سراميکي: الف) ۶۰۰ DCL و ب) ۹۰۰ DCL

حالات لایه‌ای بودن ساختار در تصاویر شکل ۱۱ بهوضوح قابل تشخيص است. همانطورکه در اين شکل علامت گذاري شده، مقطع عرضي هر کدام از اين لایه‌ها بهصورت ساختار ستونی<sup>۲</sup> می‌باشد. مناطق ذوب‌نشده

تصاویر میکروسکوپي شکل ۱۰ (الف) و (ج) نشان می‌دهند که مشخصات ريزساختاري لایه روبي پوشش‌های دولایه سراميکي از نوع دوگانه<sup>۱</sup> است. يك قسمت از اين ريزساختار مربوط به ساختار لایه‌اي متاثر از مناطق ذوب‌شده بوده و مناطق ذوب‌نشده بخش دیگر ريزساختار دوگانه را تشکيل می‌دهند.

ساختار لایه‌اي در اثر انجماد سريع قطرات مذاب (آنديسته از آگلومره‌هایی که در جت پلاسمما ذوب شدند). بر روی

2-Splat

1-Bimodal microstructure

معمولی روند افزایش وزن در سیکل‌های اولیه آزمون شیب تندتری نسبت به دو نمونه دیگر داشت. اما در ادامه فرایند، سرعت اکسیداسیون آن افت شدیدتری را تجربه کرد. با حذف روند افزایش وزن نمونه‌ها در سیکل‌های اولیه و لحاظ کردن فقط مابقی سیکل‌ها در روند اکسیداسیون، می‌توان یک حالت اکسیداسیون نسبتاً خطی را برای همه پوشش‌ها متصور شد. در این وضعیت با تطبیق دادن نمودارها با حالت اکسیداسیون خطی، معادلات سرعت خطی اکسیداسیون استخراج شدند:

$$Y = 0.0024x + 1.805 \quad (1)$$

$$Y = 0.0017x + 1.943 \quad (2)$$

$$Y = 0.001x + 2.402 \quad (3)$$

با مقایسه شیب معادلات اکسیداسیون می‌توان دریافت که شیب نمودار پوشش  $600\text{DCL}$  کمتر از پوشش  $900\text{DCL}$  بوده و هم‌چنین در پوشش  $600\text{DCL}$  این روند افزایش خطی وزن تا انتهای آزمون (سیکل ۹۲۴) ادامه داشته است.

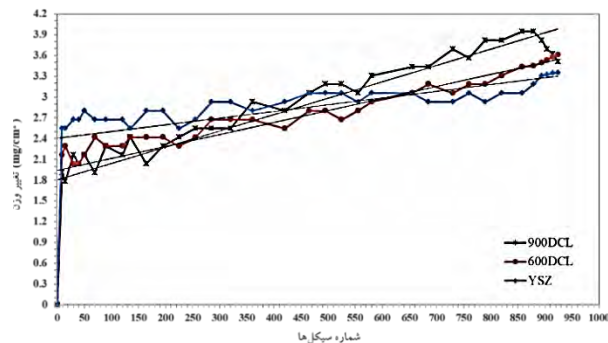
در صورتی که در پوشش  $900\text{DCL}$  پس از ۸۷۹ سیکل روند کاهشی نمودار با شیب نسبتاً تند، جایگزین حالت اکسیداسیون خطی با روند افزایشی شده است. شیب نمودار اکسیداسیون خطی پوشش YSZ معمولی نیز در مقایسه با دو پوشش دیگر کمتر بوده و بنابراین از این دیدگاه نمی‌توان بهبود طول عمر پوشش‌های سد حرارتی را از طریق بهکاربردن پوشش‌های دولایه سرامیکی زیرکونات لانتانیم سریوم به اثبات رساند.

تصویر میکروسکوپی الکترونی رویشی از سطح مقطع پوشش  $900\text{DCL}$  در ناحیه جدا شده<sup>۱</sup> پوشش در نزدیکی لبه نمونه دیسکی شکل پس از آزمون اکسیداسیون سیکلی در شکل ۱۳ آورده شده است. همانطورکه از این شکل پیداست، لایه رویی پوشش دولایه سرامیکی در نزدیکی فصل مشترک بین دو لایه سرامیکی انفصال یافته است.

1- Delaminated area

همانطور که از اسم آنها نیز مشخص است، در اثر برخورد ذرات عبور کرده‌ای از جت پلاسمای تحت تأثیر فرایند ذوب قرار نگرفته و ریزساختار اولیه خود را حفظ کرده‌اند به زیرلایه ایجاد می‌شوند. در نتیجه این مناطق بایستی حالت نانوذرات داشته باشند. تصاویر میکروسکوپی در شکل ۱۰ (ب) و (د) دقیقاً حضور نانوذرات را در مناطق ذوب‌نشده تأیید می‌کند. همانطورکه از این تصاویر پیداست، یک توزیع یکنواخت و بهم پیوسته‌ای از نانوذرات در این مناطق وجود دارند. بنابراین با توجه به این مشاهدات میکروسکوپی الکترونی، پوشش‌های دولایه سرامیکی  $600\text{DCL}$  و  $900\text{DCL}$  باید پوشش‌های سد حرارتی جدید نانوساختار اصلاح شده ساختاری (دارای ترک‌های عمودی) در نظر گرفته شوند.

نمودار تغییرات وزن پوشش‌های دولایه سرامیکی  $600\text{DCL}$ ،  $900\text{DCL}$  و پوشش YSZ معمولی نسبت به تعداد سیکل‌های اعمالی در آزمون اکسیداسیون سیکلی در شکل ۱۲ نشان داده شده است.



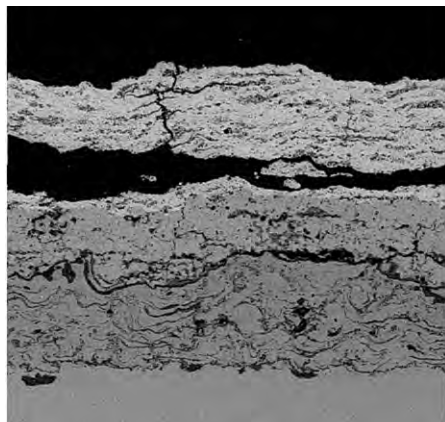
شکل ۱۲. نمودار تغییرات وزن نمونه‌های دیسکی شکل پوشش داده شده بر حسب تعداد سیکل‌های حرارتی اعمالی در حداقل دمای  $1000^{\circ}\text{C}$ .

در ارتباط با نحوه افزایش وزن در حین آزمون اکسیداسیون سیکلی مطابق با شکل ۱۲، در پوشش‌های  $600\text{DCL}$  و  $900\text{DCL}$  پس از اینکه وزن نمونه‌ها با یک شیب تندی در سیکل‌های اولیه آزمون اکسیداسیون افزایش پیدا کرد، روند افزایش وزن با یک شیب ملایم‌تری (تقریباً حالت خطی) تا  $879$  سیکل حرارتی ادامه یافت. در مورد پوشش YSZ

عمودی ۲- ترک افقی ۳- ترک امتدادیافته<sup>۱</sup> و ۴- ترک نفوذی<sup>۲</sup>.

شکل ۱۴ (ج) نشان می‌دهد که در پوشش ۶۰۰DCL ترک امتدادیافته‌ای همانند پوشش YSZ معمولی در ریزساختار قابل تشخیص نیست. در این نوع پوشش تنها ترک بزرگ قابل مشاهده در پوشش مربوط به ترک عمودی لایه رویی ۶۰۰DCL پوشش است که از قبل در ریزساختار پوشش ۶۰۰DCL اولیه وجود داشته است (شکل ۹ (الف)). همانطور که از شکل ۱۴ (ج) پیداست، این ترک در انتهای پس از رسیدن به فصل مشترک بین دو لایه سرامیکی به صورت ترک‌های افقی ریزی انشعاب یافته ولی شرایط تشکیل یک ترک نفوذی را پیدا نکرده است. دلیل آن هم حضور نسبتاً گسترده‌ای از مناطق ذوب‌نشده حاوی نانوذرات در لایه رویی پوشش ۶۰۰DCL (شکل‌های ۹ و ۱۰) می‌باشد که موجب شد تا تلورانس کرنشی ریزساختار قدری افزایش یافته و مانع رشد ترک عمودی و تبدیل آن به ترک نفوذی شود.

شرایط لایه‌های پوشش ۹۰۰DCL مطابق با شکل ۱۴ (و) قدری متفاوت با پوشش ۶۰۰DCL است. در این نوع پوشش اکثربت ترک‌های عمودی در لایه رویی پوشش به داخل لایه میانی نفوذ کرده و بعضی از این ترک‌ها در مواضع اطراف لایه TGO به صورت ترک افقی انشعاب پیدا کرده‌اند. تحت این شرایط با رشد لایه TGO و تمرکز YSZ تنش‌های ناشی از رشد آن در اطراف فصل مشترک TGO/ طول عمر سیکل حرارتی پوشش نیز به شدت تحت تأثیر قرار خواهد گرفت. همانطورکه قبلًا بحث شد، لایه رویی پوشش ۹۰۰DCL در مقایسه با پوشش ۶۰۰DCL از تراکم نسبتاً بالاتری برخوردار بود. تحت این شرایط ترک‌های عمودی ایجاد شده در ریزساختار پوشش ۹۰۰DCL فرستت لازم را پیدا کردند تا در حین کارکرد پوشش در دمای بالا به داخل لایه میانی YSZ نفوذ کنند.



شکل ۱۴. تصویر SEM از سطح مقطع پولیش شده پوشش ۹۰۰DCL در ناحیه جدا شده پوشش پس از اتمام آزمون اکسیداسیون سیکلی در حداقل دمای ۱۰۰۰°C.

جهت بررسی دقیق‌تر علت مقاومت به سیکل حرارتی بهتر پوشش ۶۰۰DCL در مقایسه با پوشش ۹۰۰DCL، وضعیت لایه‌های هر سه نمونه پوشش پس از انجام فرایند اکسیداسیون سیکلی توسط تصاویر میکروسکوپی مورد تجزیه و تحلیل قرار گرفتند. تصاویر میکروسکوپی الکترونی روبشی از سطح مقطع پولیش شده این نمونه‌ها پس از اتمام آزمون اکسیداسیون سیکلی در شکل ۱۴ و نتایج آنالیز EDS نقاط مشخص شده در این شکل نیز در جدول ۳ گزارش شده‌اند. تصاویر میکروسکوپی لایه‌های پوشش ۹۰۰DCL (شکل ۱۴ (و)) مربوط به منطقه‌ای از نمونه است که پوشش به طور کامل سالم باقی مانده و جدا نشده بود.

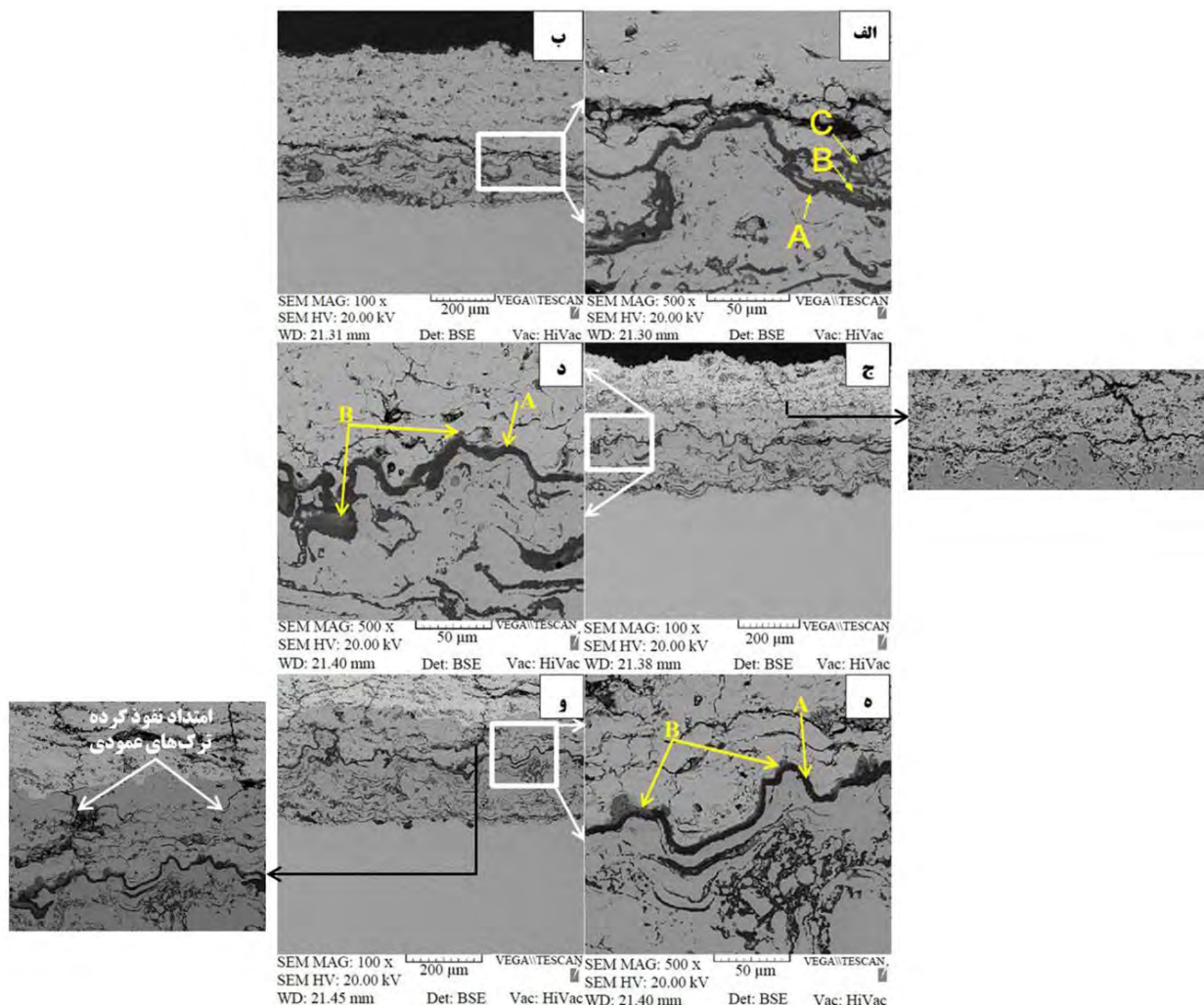
همانطورکه از شکل ۱۴ (ب) مشخص است، در پوشش YSZ معمولی ترک امتدادیافته‌ای در امتداد فصل مشترک TGO/YSZ وجود دارد. به طورکلی در ریزساختار پوشش‌های پاشش پلاسمایی دارای لایه ترد سرامیکی پس از اعمال سیکل‌های حرارتی در دمای بالا احتمال حضور ۴ نوع ترک وجود دارد. این ترک‌ها عبارتند از: ۱- ترک

1- Propagating crack  
2- Penetrating crack

با استناد به داده‌های جدول ۳ در پوشش YSZ معمولی مطابق با شکل ۱۴ (الف) مناطق خارجی‌تر C و نواحی B که مماس با لایه پیوسته اکسیدی هستند را می‌توان به ترتیب  $\text{Cr}_2\text{O}_3$  و اسپینل  $(\text{Cr}, \text{Al})_2\text{O}_4$  (با تقریب ۱۴ به حساب آورد. مناطق B در پوشش B ۶۰۰ DCL (شکل ۱۴ (د)) به دلیل وجود مقادیر بالایی از عنصر Al و Ni در ترکیب شیمیایی آنها و همچنین حضور تقریباً ۹ درصد اتمی Cr بایستی همان ترکیب اسپینل  $\text{Ni}(\text{Cr}, \text{Al})_2\text{O}_4$  باشند.

[۴۱]

نتایج آنالیز EDS در مناطق منطبق با کنترast A در جدول ۳ نشان می‌دهد که ترکیب شیمیایی بخش پیوسته لایه TGO در هر سه نوع پوشش از نوع اکسید آلومینیم است. بنابراین لایه ممانعت‌کننده نفوذ اکسیژن به داخل لایه اتصال فلزی در همه پوشش‌ها ایجاد شده و تفاوت تنها در نحوه توزیع فازهای ناخواسته از نوع اکسیدهای ترکیبی Ni-Cr-Al-O بر روی این لایه اکسید آلومینیم محافظت است.



شکل ۱۴ - تصاویر SEM از سطح مقطع پولیش شده نمونه‌ها پس از اتمام آزمون اکسیداسیون سیکلی در حداقل دمای  $1000^{\circ}\text{C}$ : (الف) و (ب) پوشش YSZ معمولی، (ج) و (د) پوشش ۶۰۰ DCL و (ه) و (و) پوشش ۹۰۰ DCL

ترکیب اسپینل  $(\text{Ni}(\text{Cr}, \text{Al})_2\text{O}_4)$  نیز تشکیل شود (درصورتی که آزمون اکسیداسیون سیکلی بخواهد بازهم ادامه یابد). حضور ترکیب اسپینل داخل لایه سرامیک YSZ شرایط را برای جوانه‌زنی ترک‌های موضعی فراهم می‌کند که نهایتاً با رشد این ترک‌ها احتمال پوسته شدن<sup>۱</sup> کامل لایه سرامیک نیز افزایش خواهد یافت [۴۵-۴۳].

به نظر می‌رسد تشکیل ترک امتدادیافته در لایه سرامیک و نزدیک فصل مشترک TGO/YSZ در پوشش YSZ معمولی (شکل ۱۴ (ب)), به علت توسعه تنش‌های کششی و فشاری حاصل از اعمال سیکل‌های حرارتی در نزدیک لبه نمونه دیسکی شکل و اثر عدم انطباق انبساط حرارتی لایه سرامیک YSZ در مواضع اطراف لایه TGO باشد. نبود مشابه این ترک در پوشش دارای لایه رویی سرامیک زیرکونات لانتانیم سریوم (پوشش ۶۰۰DCL) را می‌توان ناشی از عوامل زیر دانست:

نخست آنکه نفوذ یونی اکسیژن از طریق لایه رویی پوشش ۶۰۰DCL به دلیل حضور فاز LZ (مطابق با الگوی پراش شکل ۸) در مقایسه با پوشش YSZ قاعده‌تاً باید کنترل صورت گرفته باشد. مقاومت بالاتر نسبت به نفوذ اکسیژن در ترکیبات LZ از خواص ذاتی این نوع مواد به حساب می‌آید [۱۹]. وجود عیوب جفت فرانکل آنیون اکسیژن در ساختار این نوع ترکیبات شرایط نفوذ یون‌های اکسیژن را سخت‌تر کرده و موجب می‌شود تا این فرایند آهسته‌تر صورت گیرد [۴۶]. عامل دوم را نیز می‌توان به حضور ترکیب فازی غالب LC + LZ (شکل ۸) در زیرساختار لایه رویی پوشش دولایه سرامیکی ۶۰۰DCL مرتبط دانست. هدایت حرارتی بسیار پایین این ترکیب فازی خاص به اثبات رسیده است [۲۹]. بنابراین با حضور لایه رویی زیرکونات لانتانیم سریوم در پوشش دولایه سرامیکی ۶۰۰DCL، فصل مشترک YSZ/لایه اتصال فلزی در دمای عملیاتی کمتری در مقایسه با پوشش YSZ معمولی قرار می‌گیرد. این شرایط موجب می‌شود تا در حین آزمون

جدول ۳. نتایج آنالیز EDS از مناطق A, B و C مشخص شده در شکل ۱۴

مناطق آنالیز شده در تصویر میکروسکوپی							نوع پوشش
B			A				
عنصر	درصد اتنی	تراز	عنصر	درصد اتنی	تراز	عنصر	
اکسیژن	K	۲۰.۰	اکسیژن	K	۲۸.۱۲	۵۰.۹۷	پوشش YSZ معمولی
آلومینیم	K	۱۹.۴۹	آلومینیم	K	۶۱.۸۷	۴۹.۰۳	
کروم	K	۲۲.۶۳	کروم	K	-	-	
نیکل	K	۳۱.۸۲	نیکل	K	-	-	
C							
عنصر	اکسیژن	آلومینیم	کروم	نیکل			
تراز	K	K	K	K			
درصد وزنی	۱۰.۰	۷۴.۲۲	۰۵.۰۹	۰۶.۸			
درصد اتنی	۳۲.۱۷	۷۹.۷۸	۳۴.۸۳	۳۲.۱			
B							پوشش ۶۰۰DCL
عنصر	درصد اتنی	تراز	عنصر	درصد اتنی	تراز	عنصر	
اکسیژن	K	۳۱.۹۰	اکسیژن	K	۳۰.۶۳	۴۷.۸۹	
آلومینیم	K	۲۰.۳۶	آلومینیم	K	۶۴.۷۳	۰۲.۱۱	
کروم	K	۱۷.۱۸	کروم	K	-	-	
نیکل	K	۳۰.۰۱	نیکل	K	-	-	
B							پوشش ۹۰۰DCL
عنصر	درصد اتنی	تراز	عنصر	درصد اتنی	تراز	عنصر	
اکسیژن	K	۲۲.۰۸	اکسیژن	K	۳۶.۴۹	۴۹.۲۲	
آلومینیم	K	۱۴.۰۴	آلومینیم	K	۶۳.۵۰	۰۰.۷۶	
کروم	K	۳۰.۲۹	کروم	K	-	-	
نیکل	K	۳۲.۰۹	نیکل	K	-	-	
A							
عنصر	درصد اتنی	تراز	عنصر	درصد اتنی	تراز	عنصر	
اکسیژن	K	۴۷.۶۸	اکسیژن	K	۴۷.۶۸	۴۷.۶۸	
آلومینیم	K	۲۱.۹۹	آلومینیم	K	۶۱.۸۷	۴۹.۰۳	
کروم	K	۱۳.۸۳	کروم	K	-	-	
نیکل	K	۱۶.۵	نیکل	K	-	-	

نتایج جدول ۳ نشان داد که اکسیدهای ترکیبی توزیع شده در بالای لایه پیوسته اکسیدی در پوشش ۹۰۰DCL (متمرکز بر روی قله‌های لایه TGO یا همان نقاط (B) مطابق با شکل ۱۴ (ه) شامل مخلوطی از عناظر Al, Ni و Cr با مقادیر به ترتیب ۱۷/۵, ۱۶/۶ و ۱۸/۶ درصد اتنی بودند که تحت این شرایط لایه خارجی تر TGO در پوشش ۹۰۰DCL را می‌توان به صورت کلی به عنوان اکسیدهای مخلوط از نوع CSN (الکسیژن-کرومیا)  $(\text{Cr}, \text{Al})_2\text{O}_3$  +  $\text{NiO}$  +  $\text{Ni}(\text{Cr}, \text{Al})_2\text{O}_4$  (Spinel) به اختصار CSN در نظر گرفت [۴۲].

با در نظر گرفتن این نتایج از لحاظ ترکیب شیمیایی لایه TGO چه در بخش پیوسته سیاه رنگ (فاز اکسید آلومینیم) و یا قسمت خاکستری روشن آن (اکسیدهای مخلوط (CSN) تفاوت چندانی بین سه نوع پوشش مطالعه شده وجود نداشت و شاید بتوان تنها تفاوت جزئی را وجود فاز TGO/YSZ  $(\text{Cr}, \text{Al})_2\text{O}_3$ ) در فصل مشترک پوشش YSZ معمولی به حساب آورد (مناطق C در شکل ۱۴ (الف)). این فاز تقریباً به طور کامل داخل لایه سرامیک YSZ توسعه پیدا کرده و به دلیل آنکه نفوذ از طریق این فاز در مقایسه با اکسید آلومینیم خالص سریع‌تر انجام می‌گیرد، احتمال آن وجود دارد که با نفوذ نیکل به این مناطق

کاری  $1000^{\circ}\text{C}$  از لحاظ ترکیب شیمیایی فازهای اصلی تشکیل دهنده در ریزساختار، پوشش کاملاً پایدار باقی مانده است.

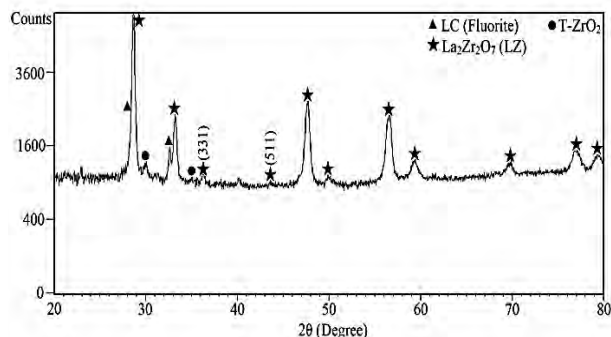
با دقت بیشتر در الگوی پراش شکل ۱۵ کاملاً مشهود است که شدت پیک‌های فازهای کریستالی در مقایسه با الگوی پراش شکل ۸ افزایش چشمگیری داشته‌اند. وقوع این رخداد نشان از پیشروی بیشتر فرایند کریستالیزاسیون یا همان تبلور مجدد در پوشش  $600\text{ DCL}$  در حین فرایند اکسیداسیون سیکلی در دمای بالاست. همزمان با پیشروی فرایند کریستالیزاسیون در ریزساختار پوشش، فرایند منظم شدن فاز فلوریت LZ و تبدیل شدن آن به فاز پایروکلر نیز در حال رخداد است. نشانه وقوع این فرایند حضور پیک‌های فوق شبکه (۳۳۱) و (۵۱۱) در الگوی پراش شکل ۱۵ است. جونوی چه<sup>۱</sup> و همکارانش نیز با شناسایی پیک‌های فوق شبکه (۳۳۱) و (۵۱۱) در الگوی پراش، ساختار فازی سرامیک  $\text{La}_2(\text{Zr}_{0.7}\text{Ce}_{0.3})_2\text{O}_7$  را از نوع پایروکلر در نظر گرفتند [۴۷].

پیک‌های فوق شبکه‌ای فاز پایروکلر LZ در حالت پایدار کامل شدت‌های بسیار ضعیفی دارند. به طوریکه در این حالت شدت پیک‌های (۳۳۱) و (۵۱۱) به ترتیب معادل با  $5/1$  و  $1/9$  درصد است. شدت نسبی پیک‌های (۳۳۱) و (۵۱۱) در شکل ۱۵ به ترتیب برابر با تقریباً  $2/5$  و  $1/15$  درصد می‌باشد. این موضوع نشان می‌دهد که پس از اعمال ۹۲۴ سیکل حرارتی در حداکثر دمای  $1000^{\circ}\text{C}$ ، فرایند استحاله فاز فلوریت LZ به پایروکلر به صورت جزئی انجام گرفته است. بنابراین برای کامل شدن این استحاله، زمان نگهداری پوشش در دمای  $1000^{\circ}\text{C}$  باید بسیار بیشتر شود. دلیل آن هم زمان بر بودن فرایند منظم شدن فاز LZ و استحاله کامل آن به فاز پایروکلر می‌باشد.

در حالت کلی فرایند منظم شدن در ساختارهای اتمی زیرکونات نادر خاکی همانند LZ به احتمال زیاد باعث افزایش مقاومت به زینترینگ می‌شود [۸]. بنابراین انتظار

اکسیداسیون سیکلی، ماکزیمم تنش‌های حرارتی ناشی از اعمال سیکل‌های حرارتی در موضع اطراف فصل مشترک YSZ/Lایه اتصال فلزی پوشش  $600\text{ DCL}$ ، در مقایسه با تنش‌های حرارتی موجود در همین موضع از ریزساختار پوشش YSZ معمولی کمتر باشد. عامل سوم نیز به دلیل حضور ترک‌های عمودی در ریزساختار پوشش  $600\text{ DCL}$  (شکل ۹) است که باعث می‌شود تا اثرات مخرب ناشی از وجود تنش‌های حرارتی کاهش یابد.

از آنجاییکه در حین آزمون اکسیداسیون سیکلی پوشش دولایه سرامیکی  $900\text{ DCL}$  نتایج چندان مطلوبی حاصل نشد (مطابق با شکل‌های ۱۲ و ۱۳) و همچنین با در نظر گرفتن الگوهای پراش شکل ۸ از لحاظ نوع فازهای اصلی تشکیل شده، پوشش  $900\text{ DCL}$  تفاوتی با پوشش  $600\text{ DCL}$  نداشت. بررسی‌های مربوط به پایداری فازی و تبلور مجدد در حین کارکرد پوشش در شرایط اکسیداسیون سیکلی فقط برای پوشش  $600\text{ DCL}$  مورد بررسی قرار گرفت. الگوی پراش پرتو ایکس مربوط به سطح رویی پوشش  $600\text{ DCL}$  پس از آزمون اکسیداسیون سیکلی در شکل ۱۵ نشان داده شده است.



شکل ۱۵. الگوی پراش پرتو ایکس لایه رویی پوشش دولایه سرامیکی  $600\text{ DCL}$  پس از اتمام آزمون اکسیداسیون سیکلی.

همانطورکه از شکل ۱۵ پیداست، نسبت به الگوی پراش پوشش اولیه قبل از آزمون (شکل ۸) تفاوتی از لحاظ ماهیت فازهای اصلی وجود ندارد و همان فازهای اصلی LZ و LC در نمونه پوشش  $600\text{ DCL}$  پس از انجام آزمون اکسیداسیون سیکلی شناسایی شدند. بنابراین در دمای

-۵- تنها در پوشش ۶۰۰DCL به دلیل حضور لایه رویی زیرکونات لانتانیم سریوم با تراکم نه چندان بالا و تشکیل ترک‌های عمودی در ریزساختار در حین آزمون اکسیداسیون سیکلی نتایج مطلوبی بدست آمد. در حالی که در پوشش YSZ معمولی به دلیل برآورده نشدن این شرایط ریزساختاری، ترک امتدادیافتہ‌ای در نزدیکی فصل‌مشترک TGO/YSZ در حین آزمون اکسیداسیون سیکلی تشکیل شد.

-۶- فرایندهای منظم شدن ترکیب LZ و تبلور مجدد در پوشش ۶۰۰DCL در حین آزمون اکسیداسیون سیکلی رخ دادند.

می‌رود که با پیشرفت بیشتر فرایند منظم شدن فاز LZ در حین نگهداری طولانی‌مدت پوشش دولایه سرامیکی ۶۰۰DCL در دمای ۱۰۰۰°C (شرط عملکرد واقعی پوشش) مقاومت به زیترینگ آن نیز افزایش یابد. البته همزمان با این رویداد، فرایندهای کریستالیزاسیون نیز پیشرفت کرده و این احتمال وجود دارد که تغییرات حجمی در ریزساختار لایه رویی پوشش رخ دهد. وقوع این تغییرات حجمی به دلیل تبلور فاز آمورف موجود در ریزساختار (فرایندهای کریستالیزاسیون)، در مورد پوشش‌های LaMgAl<sub>11</sub>O<sub>19</sub> با ساختار پیچیده‌تر از فاز LZ گزارش شده است. اما در این پوشش‌ها هم به هیچ عنوان تخریب موضعی لایه‌های پوشش در اثر این تغییرات حجمی اتفاق نیفتاد [۴۸].

## مراجع

1. H. Samadi. *A thick multilayer thermal barrier coating: design, deposition, and internal stresses*. Doctor of Philosophy. Department of Materials Science and Engineering. University of Toronto. )2009(.
2. X. Q. Cao. R. Vassen and D. Stoever. *Ceramic materials for thermal barrier coatings*. Journal of the European Ceramic Society. 24(2004)1–10.
3. R. L. Jones. R. F. Reidy and D. Mess. *Scandia, yttria-stabilized zirconia for thermal barrier coatings*. Surface and Coatings Technology. 82(1996)70–76.
4. Z. G. Liu. J. H. Ouyang. Y. Zhou. J. Li and X. L. Xia. *(Ln<sub>0.9</sub>Gd<sub>0.05</sub>Yb<sub>0.05</sub>)<sub>2</sub>Zr<sub>2</sub>O<sub>7</sub> ceramics with pyrochlore structure as thermal barrier oxides*. Advanced Engineering Materials. 10(2008)754–758.
5. J. Wang. S. Bai. H. Zhang and C. Zhang. *The structure, thermal expansion coefficient and sintering behavior of Nd<sup>3+</sup>-doped La<sub>2</sub>Zr<sub>2</sub>O<sub>7</sub> for thermal barrier coatings*. Journal of Alloys and Compounds. 476(2009)89–91.
6. Z. Xu. L. He. R. Mu. S. He. G. Huang and X. Cao. *Hot corrosion behavior of La<sub>2</sub>Zr<sub>2</sub>O<sub>7</sub> with the addition of Y<sub>2</sub>O<sub>3</sub> thermal barrier coatings in contacts with vanadate-sulfate salts*. Journal of Alloys and Compounds. 504(2010)382–385.
7. R. Vaßen. F. Traeger and D. Stöver. *New Thermal Barrier Coatings Based on*

## نتیجه‌گیری

- ۱- حضور هم‌زمان فازهای فلوریت LZ و LC فقط در دمای کلسیناسیون ۹۰۰°C حاصل شد.
- ۲- ذرات رسوب کلسینه‌شده در دمای ۶۰۰°C دارای ریخت شبکه‌کروی بوده و همگی در مقیاس نانوذرات ۹۰۰°C قرار داشتند. در رسوب کلسینه‌شده در دمای ۹۰۰°C نیز علی‌رغم وقوع فرایند زیترینگ جزئی، ذرات پودر نهایی از حالت نانوذرات خارج نشدند.
- ۳- فازهای اصلی LZ و LC با ساختار فلوریت در لایه رویی هر دو پوشش دولایه سرامیکی ۶۰۰DCL و ۹۰۰DCL تشکیل شدند. تنها تفاوت بین این دو نوع پوشش نیز مربوط به میزان آمورف کمتر در لایه رویی پوشش ۹۰۰DCL بود.
- ۴- هر دو پوشش ۶۰۰DCL و ۹۰۰DCL به عنوان پوشش -های سد حرارتی نانوساختار اصلاح‌شده ساختاری (دارای ترک‌های عمودی) شناخته شدند. تراکم کمتر در لایه رویی پوشش ۶۰۰DCL تنها تفاوت ریزساختاری قابل تشخیص بین این دو نوع پوشش بود.

*layered thermal barrier coatings produced by suspension plasma spray.* Surface and Coatings Technology. 357(2019)456-465.

17. R. Vaßen. E. Bakan. D. E. Mack. G. Mauer and M. Robert. *Porosity – Property Relationships of Plasma-Sprayed  $Gd_2Zr_2O_7/YSZ$  Thermal Barrier Coatings.* Journal of the American Ceramic Society. 98(2015)2647-2654.

18. S. Mahade. D. Zhou. N. Curry. N. Markocsan. P. Nylén and R. Vaßen. *Tailored microstructures of gadolinium zirconate/YSZ multi-layered thermal barrier coatings produced by suspension plasma spray: Durability and erosion testing.* Journal of Materials Processing Technology. 264(2019)283-294.

19. K. M. Doleker. Y. Ozgurluk and A. C. Karaoglanli. *Isothermal oxidation and thermal cyclic behaviors of YSZ and double-layered  $YSZ/La_2Zr_2O_7$  thermal barrier coatings (TBCs).* Surface and Coatings Technology. 351(2018)78-88.

20. J. Zhang. X. Guo. Y. G. Jung. L. Li and J. Knapp. *Lanthanum zirconate based thermal barrier coatings: A review.* Surface and Coatings Technology. 323(2017)18-29.

21. H. Dai. X. Zhong. J. Li. Y. Zhang. J. Meng and X. Cao. *Thermal stability of double-ceramic-layer thermal barrier coatings with various coating thickness.* Materials Science and Engineering: A. 433(2006)1-7.

22. A. C. Karaoglanli. K. M. Doleker and Y. Ozgurluk. *Interface failure behavior of yttria stabilized zirconia (YSZ),  $La_2Zr_2O_7$ ,  $Gd_2Zr_2O_7$ ,  $YSZ/La_2Zr_2O_7$  and  $YSZ/Gd_2Zr_2O_7$  thermal barrier coatings (TBCs) in thermal cyclic exposure.* Materials Characterization. 159(2020).

23. J. Wu. X. Wei. N. P. Padture. P. G. Klemens. M. Gell. E. García. P. Miranzo and M. I. Osendi. *Low-Thermal-Conductivity Rare-Earth Zirconates for Potential Thermal-Barrier-Coating Applications.* Journal of the American Ceramic Society. 35(2002)3031-3035.

24. Y. Wang. *The Improvement of Thermal and Mechanical Properties of  $La_2Zr_2O_7$ -based Pyrochlores as High Temperature Thermal Barrier Coatings.* Doctor of Philosophy. The Faculty of Engineering and Physical Sciences. University of Manchester. 2013.

*Pyrochlore/YSZ Double-Layer Systems.* International Journal of Applied Ceramic Technology. 1(2004)351-361.

8. H. Zhao. *Low Conductivity Thermal Barrier Coatings.* Doctor of Philosophy. The Faculty of the School of Engineering and Applied Science. University of Virginia. 2009.

9. K. Bobzin. N. Bagcivan. T. Brögelmann and B. Yıldırım. *Influence of temperature on phase stability and thermal conductivity of single and double-ceramic-layer EB-PVD TBC top coats consisting of 7YSZ,  $Gd_2Zr_2O_7$  and  $La_2Zr_2O_7$ .* Surface and Coatings Technology. 237(2013)56-64.

10. R. M. Leckie. S. Krämer. M. Rühle and C. G. Levi. *Thermochemical compatibility between alumina and  $ZrO_2-GdO_{3/2}$  thermal barrier coatings.* Acta Materialia. 53(2005)3281-3292.

11. L. Wang. Y. Wang. X. G. Sun. J. Q. He. Z. Y. Pan and C. H. Wang. *Thermal shock behavior of 8YSZ and double-ceramic-layer  $La_2Zr_2O_7/8YSZ$  thermal barrier coatings fabricated by atmospheric plasma spraying.* Ceramics International. 38(2012)3595-3606.

12. S. Mahade. N. Curry. S. Björklund. N. Markocsan and S. Joshi. *Durability of Gadolinium Zirconate / YSZ Double-Layered Thermal Barrier Coatings under Different Thermal Cyclic Test Conditions.* Materials (Basel). 12(2019).

13. S. Mahade. K. P. Jonnalagadda. N. Curry. X. H. Li. S. Björklund. N. Markocsan. P. Nylén and R. L. Peng. *Engineered architectures of gadolinium zirconate based thermal barrier coatings subjected to hot corrosion test.* Surface and Coatings Technology. 328(2017)361-370.

14. M. Frommherz. A. Scholz. M. Oechsner. E. Bakan and R. Vaßen. *Gadolinium zirconate/YSZ thermal barrier coatings: Mixed-mode interfacial fracture toughness and sintering behavior.* Surface and Coatings Technology. 286(2016)119-128.

15. Y. Ozgurluk. K. M. Doleker and A. C. Karaoglanli. *Hot corrosion behavior of YSZ,  $Gd_2Zr_2O_7$  and  $YSZ/Gd_2Zr_2O_7$  thermal barrier coatings exposed to molten sulfate and vanadate salt.* Applied Surface Science. 438(2018)96-113.

16. S. Mahade. N. Curry. K. P. Jonnalagadda. R. L. Peng. N. Markocsan and P. Nylén. *Influence of YSZ layer thickness on the durability of gadolinium zirconate/YSZ double-*

- atmospheric plasma spraying.* Journal of Alloys and Compounds. 592(2014)109-114.
34. L. He. X. Zhou. B. Zhong. Z. Xu. R. Mu. G. Huang and X. Cao. *Phase evolution, interdiffusion and failure of  $La_2(Zr_{0.7}Ce_{0.3})_2O_7$ /YSZ thermal barrier coatings prepared by electron beam-physical vapor deposition.* Journal of Alloys and Compounds. 624(2015)137-147.
35. C. Wang and Y. Wang. *Thermophysical properties of  $La_2(Zr_{0.7}Ce_{0.3})_2O_7$  prepared by hydrothermal synthesis for nano-sized thermal barrier coatings.* ceramics international. 41(2015)4601-4607.
36. H. Chen. Y. Gao. Y. Liu and H. Luo. *Coprecipitation synthesis and thermal conductivity of  $La_2Zr_2O_7$ .* Journal of Alloys and Compounds. 480(2009)843-848.
37. Z. Xu. L. He. Z. Tang. R. Mu and X. Cao. *Evolution of high temperature corrosion behavior of  $La_2(Zr_{0.7}Ce_{0.3})_2O_7$  with the addition of  $Y_2O_3$  thermal barrier coatings in contacts with vanadate-sulfate salts.* Journal of Alloys and Compounds. 536(2012)106-112.
38. S. Zhao. L. Gu. Y. Zhao. W. Huang. L. Zhu. X. Fan. B. Zou and X. Cao. *Thermal cycling behavior and failure mechanism of  $La_2(Zr_{0.7}Ce_{0.3})_2O_7/Eu^{3+}$ -doped 8YSZ thermal barrier coating prepared by atmospheric plasma spraying.* Journal of Alloys and Compounds. 580(2013)101-107.
39. E. R. Andrievskaya. O. A. Kornienko. A. Sayir. O. O. Vasylkiv and Y. Sakka. *Phase relation studies in the  $ZrO_2-CeO_2-La_2O_3$  system at 1500 °C.* Journal of the American Ceramic Society. 94(2011)1911-1919.
40. C. Zhou. Q. Zhang and Y. Li. *Thermal shock behavior of nanostructured and microstructured thermal barrier coatings on a Fe-based alloy.* Surface and Coatings Technology. 217(2013)70-75.
41. W. R. Chen. X. Wu. D. Dudzinski and P. C. Patnaik. *Modification of oxide layer in plasma-sprayed thermal barrier coatings.* Surface and Coatings Technology. 200(2006)5863-5868.
42. D. Seo and K. Ogawa. *Isothermal Oxidation Behavior of Plasma Sprayed MCrAlY Coatings.* Advanced Plasma Spray Applications. (2012)61-82.
43. M. Daroonparvar. M. A. M. Yajid. N. M. Yusof. S. Farahany. M. S. Hussain. H. R. B. Rad. Z. Valefi and A. Abdolahi. *Improvement of thermally grown oxide layer in thermal*
25. Z. Xu. X. Zhong. J. Zhang. Y. Zhang. X. Cao and L. He. *Effects of deposition conditions on composition and thermal cycling life of lanthanum zirconate coatings.* Surface and Coatings Technology. 202(2008)4714-4720.
26. H. Zhou and D. Yi. *Effect of rare earth doping on thermo-physical properties of lanthanum zirconate ceramic for thermal barrier coatings.* Journal of Rare Earths. 26(2008)770-774.
27. Z. Hong-song. X. Qiang. W. Fu-chi. L. Ling. W. Yuan and C. Xiaoge. *Preparation and thermophysical properties of  $(Sm_{0.5}La_{0.5})_2Zr_2O_7$  and  $(Sm_{0.5}La_{0.5})_2(Zr_{0.8}Ce_{0.2})_2O_7$  ceramics for thermal barrier coatings.* Journal of Alloys and Compounds. 475(2009)624-628.
28. X. Q. Cao. R. Vassen. F. Tietz and D. Stoever. *New double-ceramic-layer thermal barrier coatings based on zirconia-rare earth composite oxides.* Journal of the European Ceramic Society. 26(2006)247-251.
29. Z. Xu. L. He. X. Zhong. R. Mu. S. He and X. Cao. *Thermal barrier coating of lanthanum-zirconium-cerium composite oxide made by electron beam-physical vapor deposition.* Journal of Alloys and Compounds. 478(2009)168-172.
30. M. Yang. Y. Zhu. X. Wang. L. Zhao. Y. Chu. S. Guo. J. Hu and Q. Zhang. *A novel long-life cerium lanthanum zirconate thermal barrier coating controlled by designed portholes.* Surface and Coatings Technology. 349(2018)407-414.
31. X. Zhou. J. Wang. J. Yuan. J. Sun. S. Dong. L. He and X. Cao. *Calcium-magnesium-alumino-silicate induced degradation and failure of  $La_2(Zr_{0.7}Ce_{0.3})_2O_7$ /YSZ double-ceramic-layer thermal barrier coatings prepared by electron beam-physical vapor deposition.* Journal of the European Ceramic Society. 38(2018)1897-1907.
32. S. Chen. J. Xiang. J. Huang and X. Zhao. *Microstructures and properties of double-ceramic-layer thermal barrier coatings of  $La_2(Zr_{0.7}Ce_{0.3})_2O_7$ /8YSZ made by atmospheric plasma spraying.* Applied Surface Science. 340(2015)173-181.
33. S. Zhao. Y. Zhao. B. Zou. X. Fan. J. Xu. Y. Hui. X. Zhou. S. Liu and X. Cao. *Characterization and thermal cycling behavior of  $La_2(Zr_{0.7}Ce_{0.3})_2O_7$ /8YSZ functionally graded thermal barrier coating prepared by*

*barrier coating systems with nano alumina as third layer.* Transactions of Nonferrous Metals Society of China (English Ed.). 23(2013)1322-1333.

44. M. Darooneparvar, M. A. M. Yajid, N. M. Yusof, M. S. Hussain and H. R. B. Rad. *Formation of a dense and continuous  $Al_2O_3$  layer in nano thermal barrier coating systems for the suppression of spinel growth on the  $Al_2O_3$  oxide scale during oxidation.* Journal of Alloys and Compounds. 571(2013)205-220.
45. A. Rabiei. *Failure mechanisms associated with the thermally grown oxide in plasma-sprayed thermal barrier coatings.* Acta Materialia. 48(2002)3963-3976.
46. S. Mahade, R. Li, N. Curry, S. Björklund, N. Markocsan and P. Nylén. *Isothermal Oxidation Behavior of  $Gd_2Zr_2O_7/YSZ$  Multilayered Thermal Barrier Coatings.* International Journal of Applied Ceramic Technology. 13(2016)443-450.
47. J. W. Che, X. Y. Liu, X. Z. Wang and G. Y. Liang. *Structure, thermal expansion coefficient and phase stability of  $La_2(Zr_{0.7}Ce_{0.3})_2O_7$  studied by molecular dynamic simulation and experiment.* Chemical Physics Letters. 697(2018)48-52.
48. X. Chen, Y. Zhao, W. Huang, H. Ma, B. Zou, Y. Wang and X. Cao. *Thermal aging behavior of plasma sprayed  $LaMgAl_{11}O_{19}$  thermal barrier coating.* Journal of the European Ceramic Society. 31(2011)2285-2294.